6.2.2 開発調査の経緯

(1) 調査内容

INDEは、1977年より現在まで、Amatitlan 地域において地熱資源を対象に地球科学的調査を断続的に実施している。その主な調査内容は、以下のとおりである。

- 地質調査(地質図作成、地質構造図の作成)
- 地化学調査 (ラドン調査、温泉水・噴気ガス分析)
- 物理探查(重力、磁気、比抵抗探查)
- 小口径試錐調査(深度130~900m;9本)
- ◆ 大口径試験井掘削(深度1,500~2,000m;4本)

(2) 経緯

1971年に Albert Egger が博士論文として、1/50,000 地形図「Amatitlan」の約500km²の範囲の地質図及び岩石学研究を発表した。この範囲には、南部には Amatitlan 湖、北部には Pacaya 火山が位置する(第 6.2.2 図(1))。また、Amatitlan 湖の周辺地域で1/25,000 の地質図が作成された。1973年に JICAの援助により、Amatitlan 湖の南側の湖畔の温泉水(5 試料)が分析された。その結果、地化学温度は 200℃を示した。1977年には INDE により、Amatitlan 湖の北西側で、地球科学的調査(地質・地化学調査、電気探査)が実施された(第 6.2.2 図(2))。この時期には Amatitlan 湖の北西側デイサイト・ドーム周辺が有望と考えていた。1979年には Zunil- I 地域の調査続行のため、一時的に中断されている。

1981 年にはフランスの BREM により、本地域の 16 試料の温泉水が分析された。1984 年には Wunderman & Rose により、Pacaya 火山の火山層序の研究が行われている。1985 年に、はじめて Giggenbach により、温泉水・噴気ガスの同位体分析が行われた。そして、1987 年から INDE により、予備可能性調査が開始された(第 6.2.2 図(3))。地化学調査(ラドン調査、温泉水分析)、物理探査(重力・磁気・電気探査)が実施され、小口径試錐調査も行われている。1991 年には INDE により、Amatitlan 湖と Pacaya 火山を包含する範囲で、地質調査、地化学調査(温泉水・噴気ガス分析)、物理探査(電磁探査;MT法)が実施された(第 6.2.2 図(4))。その後、OLADE をとおして、IDB と OPECの資金により、1992~1993 年には INDE により 4 本の大口径試験井掘削が行われ、1995年には予備可能性調査が完了した。

INDE は本地域の予備可能性調査と Zunil-Ⅱの結果を比較し、可能性調査を行うべき地域として、Amatitlan地域を選定した。

6.3 既存調査の評価

6.3.1 地質調査

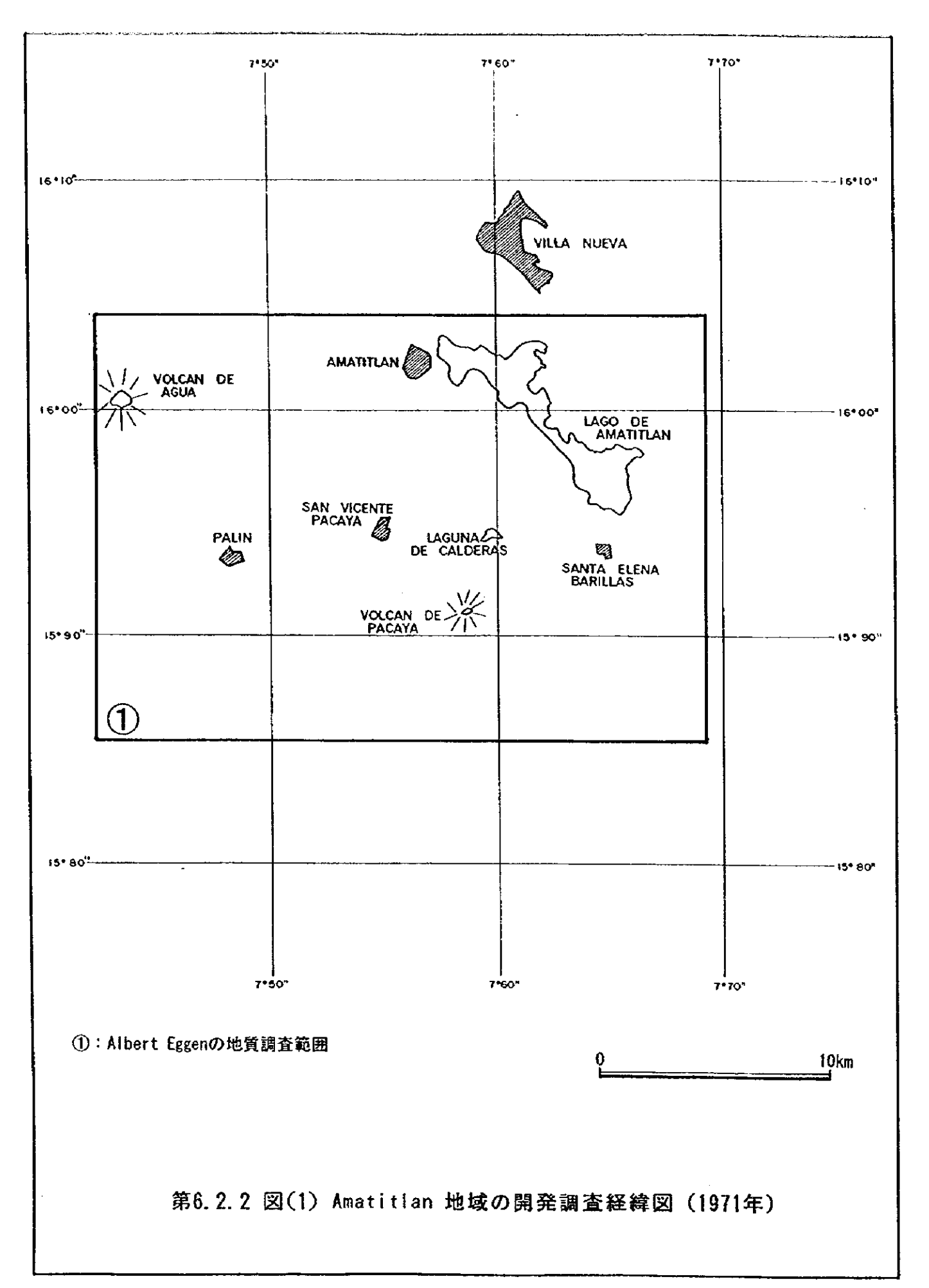
(1) 既存調査概要

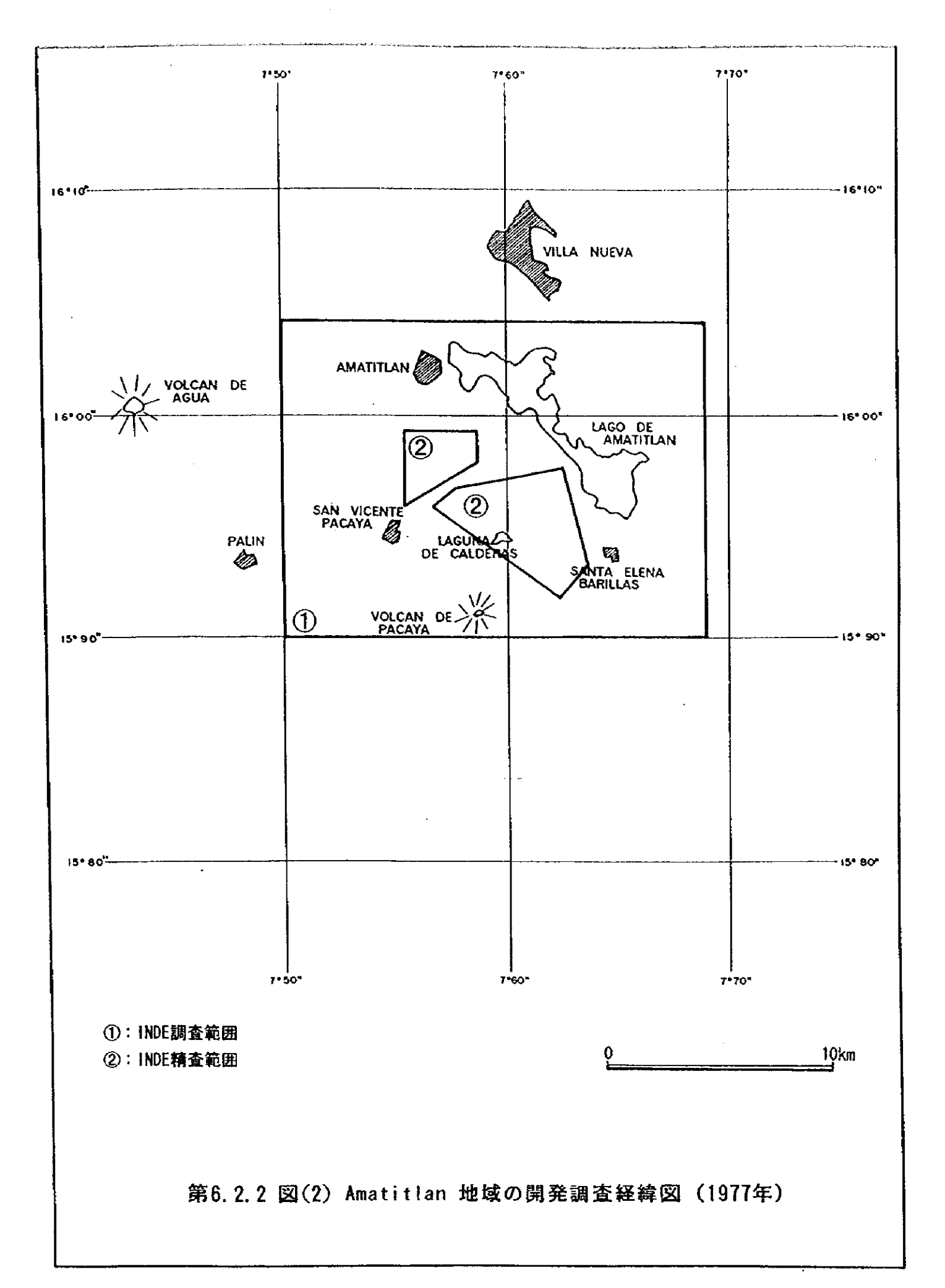
本地域の地質調査研究は、1971年の Albert Egger に始まり、現在までに INDE により、断続的に行われている。また、Wunderman(1984)の研究も挙げられる。そして、INDEによる小口径試錐と大口径試験井掘削により、地下の地質構造が解明された。

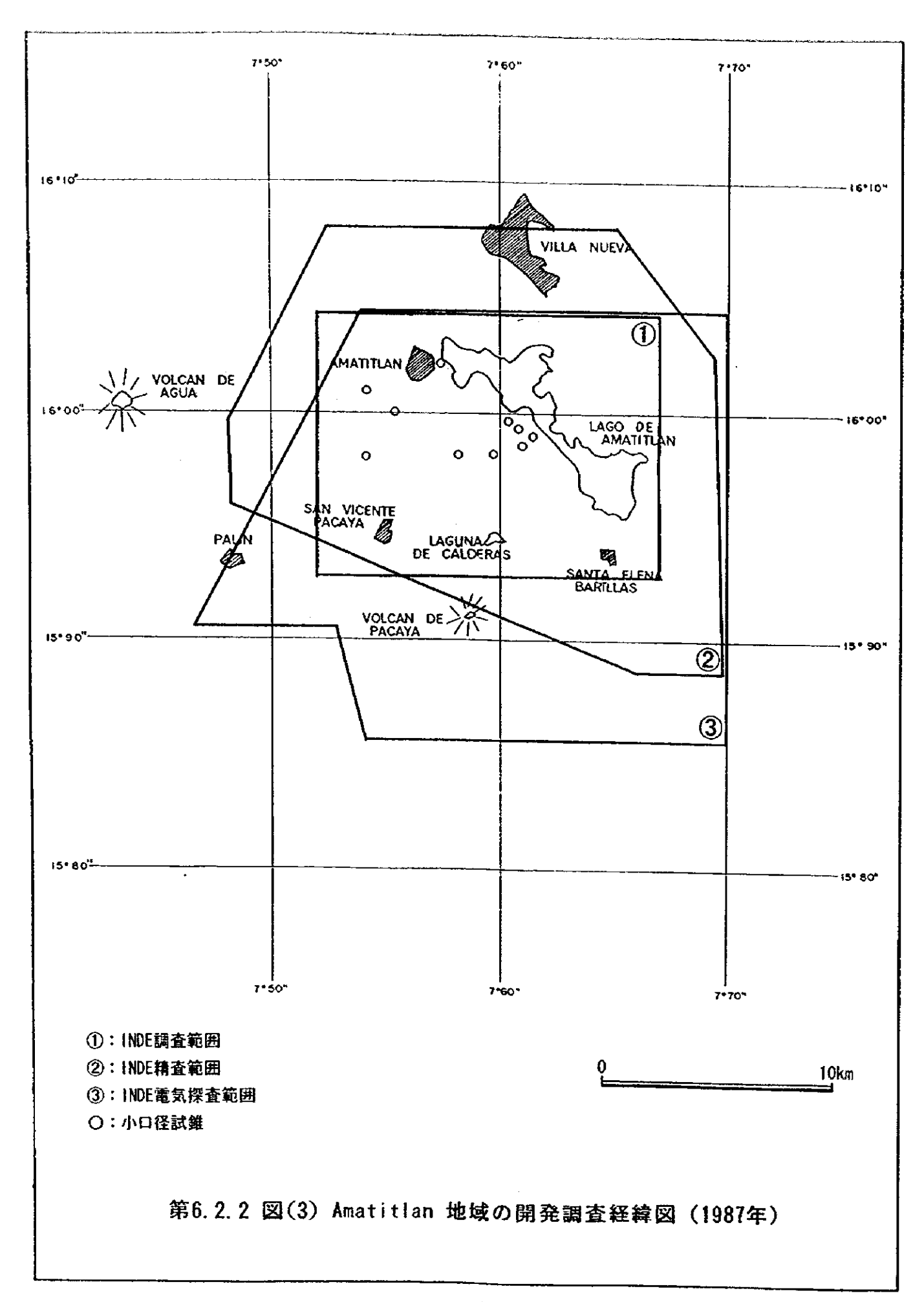
(2) 入手既存データ

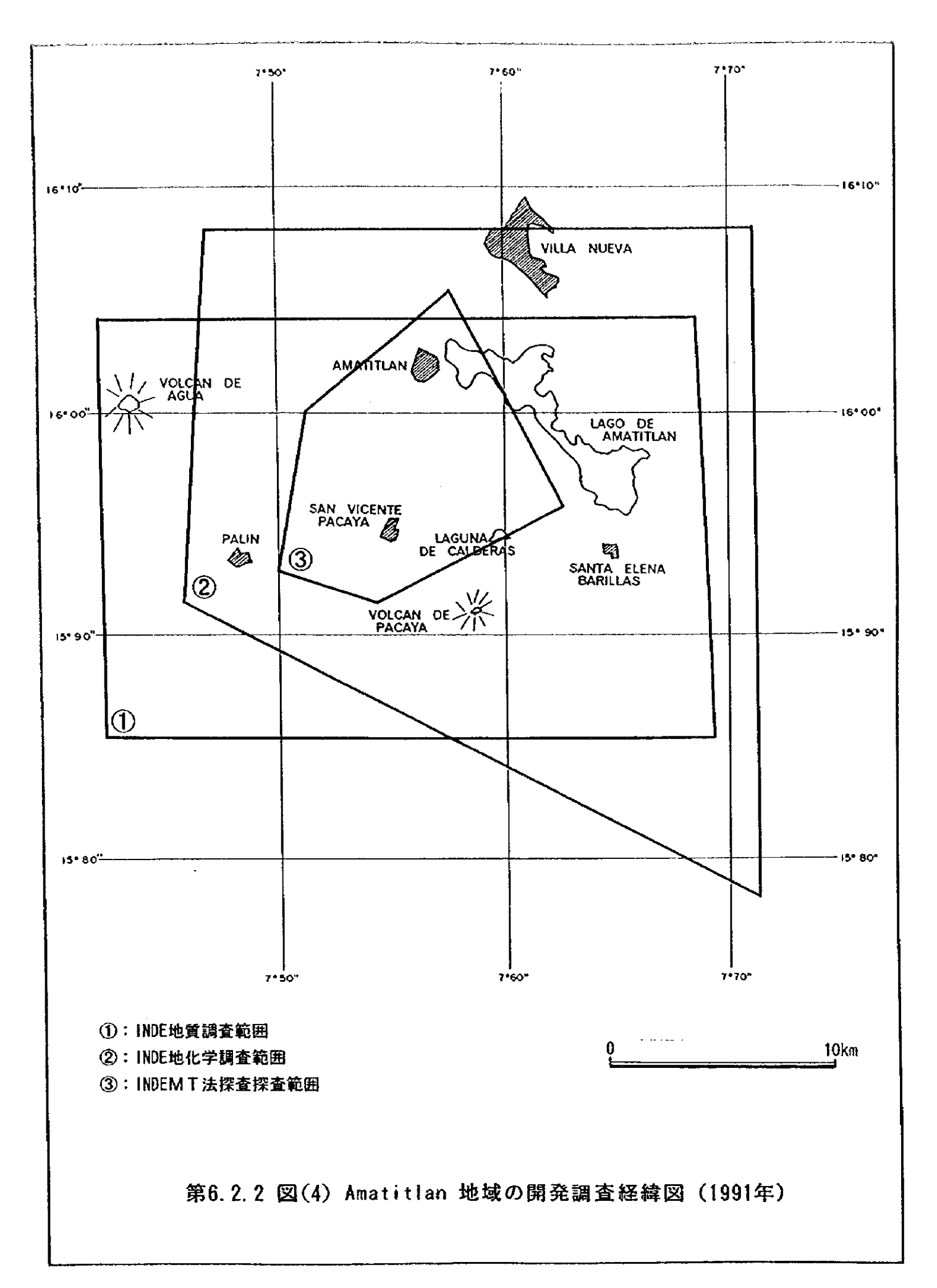
今回の調査で、以下の地質調査に関する既存データを入手した。

- 予備可能性調査報告書(1995)
- ◆ 大口径試験井掘削報告書(1995)









(3) 既存調査結果

Amatitlan地域はN-S方向の並走する2本の断層で規制されるGuatemara市地 溝帯内の南端に位置する(第6.3.1図)。本地域は火山地域で、広く第四紀の 火山岩類及び火山性堆積物が分布するため、坑井調査(小口径試錐及び大口 径試験井掘削)により地下深部に分布する新第三紀中新世の地層の層序が構 築されている。本地域の地質層序は下位から基盤岩類、先カルデラ火山岩類、 カルデラ火山岩類、後カルデラ火山岩類、Pacaya 火山岩類及び沖積層に分類 できる(第6.3.2図)。

本地域の地質図を第 6.3.3 図に、地質断面図を第 6.3.4 図に示す。本地域の基盤岩類はダイアベースとそれに貫入する花崗岩類で、範囲外の Amatitlan東岸に露出するが、範囲内では大口径試験井 AMF-1・4 で地下深部で捕捉された。花崗岩類の貫入年代は年代測定(フィッション・トラック法)により、新第三紀中新世と推定されている。

先为ルデラ火山岩類は新第三紀中新世~鮮新世の主に安山岩質溶岩・火砕岩類で、基盤岩類を不整合に覆い地下深部に分布する。カルデラ火山岩類は第四紀更新世の主に安山岩質溶岩・火砕岩類で、地下浅部に分布する。後カルデラ火山岩類は広く地表に分布し、安山岩質・安山岩質~流紋岩質溶岩からなる。安山岩質~流紋岩質溶岩はAmatitlan湖の西側にデイサイト・ドームを形成している。Pacaya 火山岩類は主に玄武岩溶岩からなり、Pacaya 火山は現在も噴火活動を継続している活火山である。沖積層はAmatitlan湖畔に分布し、砂・礫からなる。

小口径試錐孔及び大口径試験井の位置も表現した本地域の地質構造図を第6.3.5図に示す。本地域はN-S方向に伸びるグァテマラ市地溝帯内に位置し、N-S系の断層が卓越する。また、本地域南部にはAmatitlanカルデラ構造を規制する断層が多数推定されている。

6.3.2 地化学調査

(1) 既存調查概要

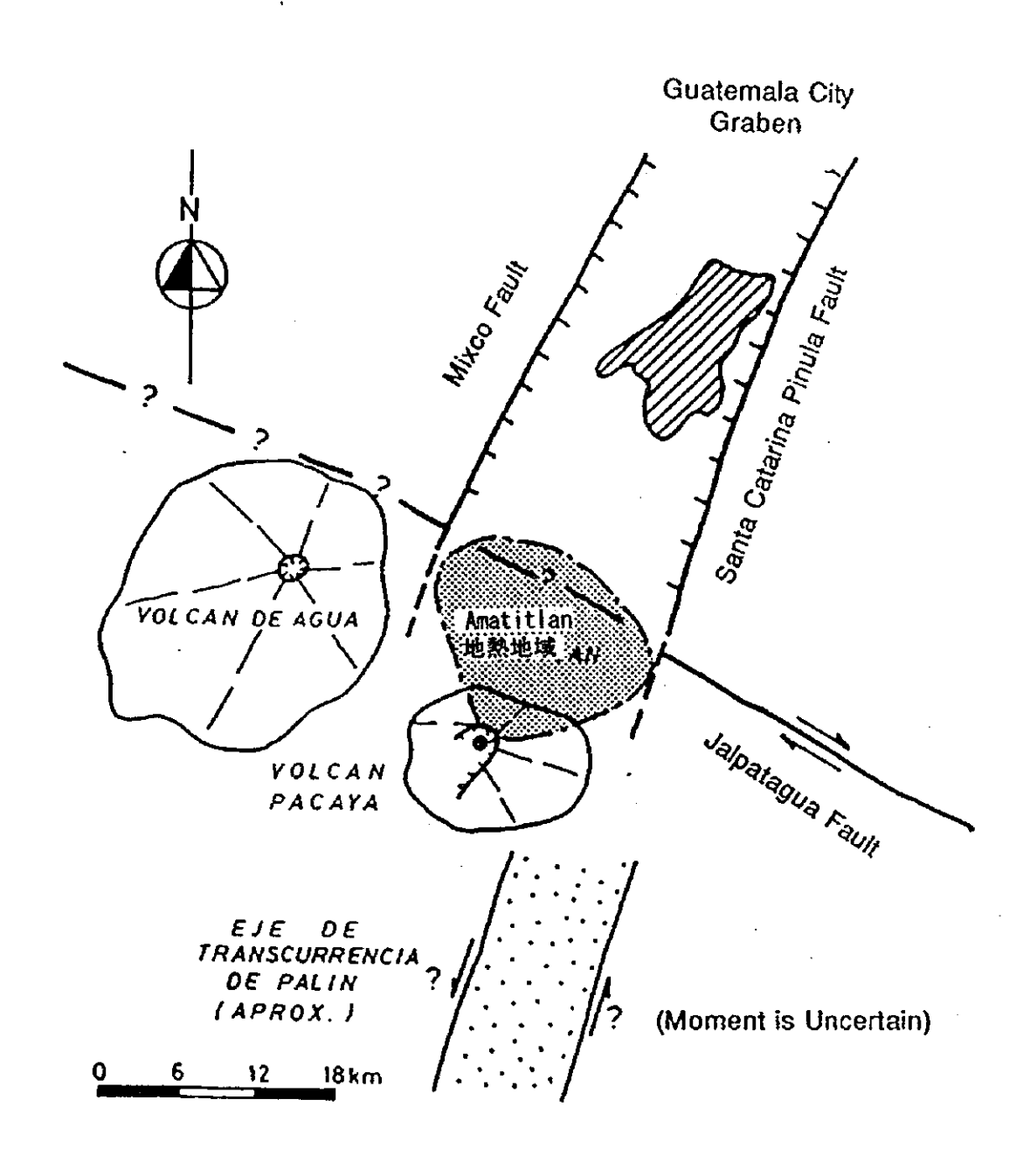
1973年にJICAの援助により、Amatitlan湖畔の温泉水(5 試料)が化学分析された。その後、1973年にINDEにより、20試料の温泉水が化学分析された。1984年には BREM により、16 試料の温泉水が化学分析された。1985年に、はじめて Giggenbach により、温泉水・噴気ガスの化学分析(16試料)と同位体分析(13試料)が行われた。

そして、1987年に INDE により、化学分析(71 試料)とラドン調査が行われた。1989年には、温泉水・噴気ガスの化学分析(62 試料)と同位体分析(31 試料)が行われた。1993年には地表水の同位体分析が行われ、1995年には流体流動モデルが作成されている。

(2)入手既存データ

今回の調査で、以下の地質調査に関する既存データを入手した。

- 予備可能性調査報告書(1995)
- 大口径試験井掘削報告書(1995)
- 温泉水・噴気ガスの化学分析・同位体分析表 (INDE所有)



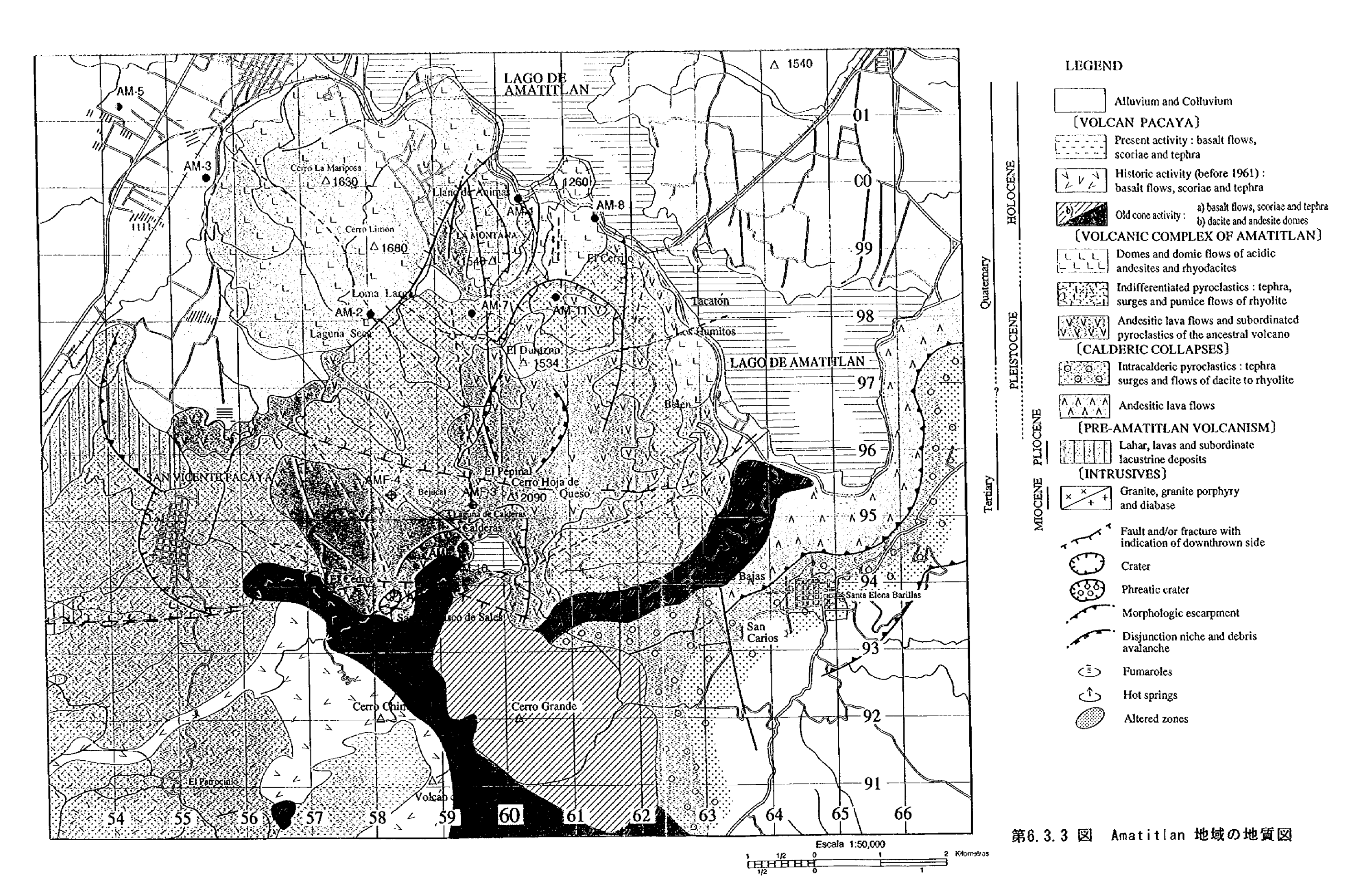
第6.3.1 図 Amatitlan 地域の地質構造上の位置

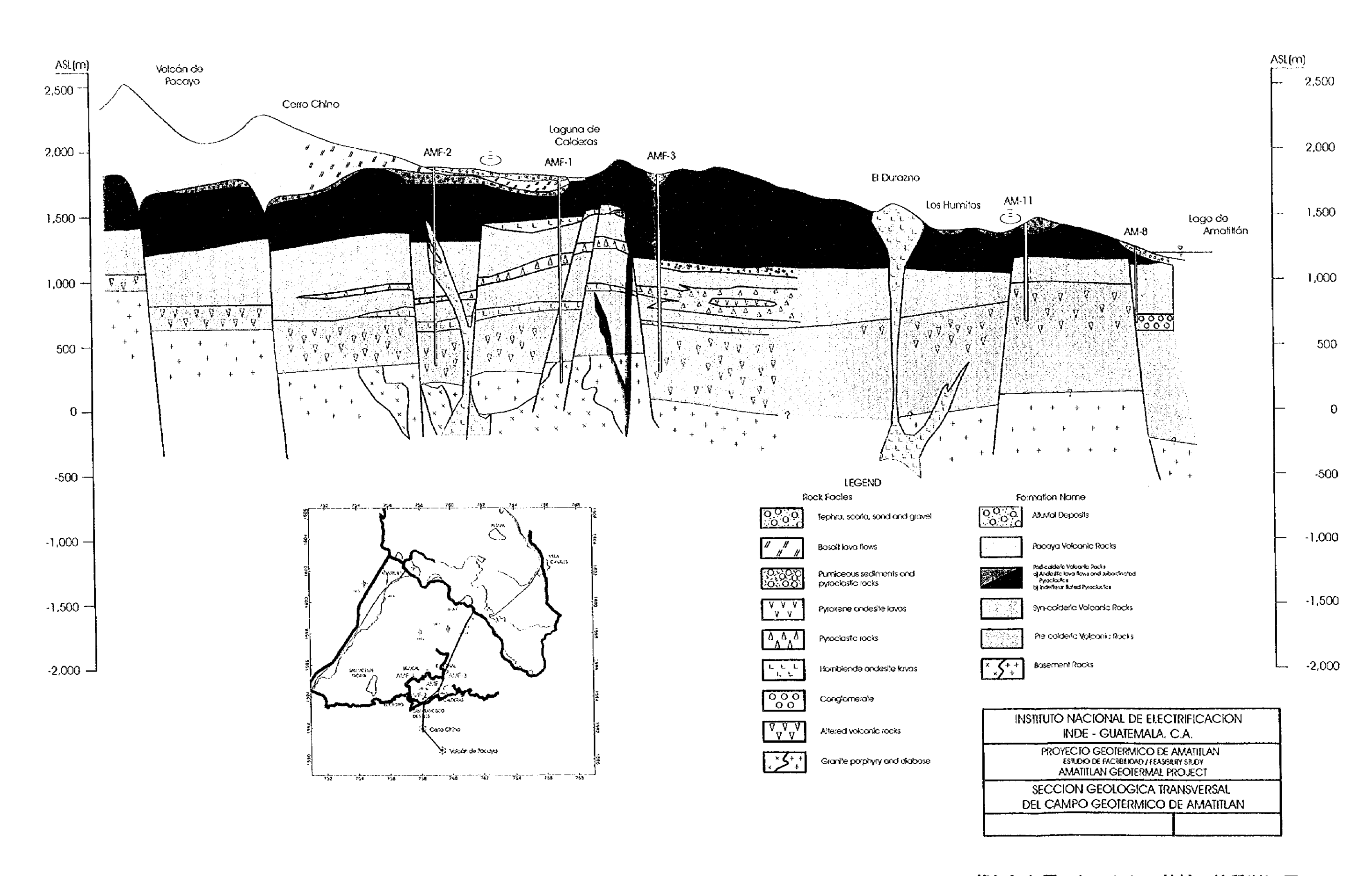
	Age	Formation	Lithology	Description	Main tectonism and volcanism	Hydro- thermal activity
	Ma o	Alfuvium and Colluvium	*******	Tephra, Sand and Gravel		
	Holocene	Pacaya Volcanic Rocks	11 11 11 11 11 11 11 11 11 11 11 11 11	Unaltered Basalt	Faulting	
5	Pleistocene	Post-calderic		Pumiceous Acidic andesite Tuff Breccia and Rhyodacite >40 ka" 8.1 ± 0.5 Ka	o l	
Quaternary	Pleistocene	Volcanic Rocks	V V V V V V V V V V V V V V V V V V V	Pyroxene Andesite, partially scoriaceous Pyrozene and porous		
	?	Syn-calderic	V V V	Homblende Introdución Andesite Pyndatics Basalt Pondación Iuliand		
	Plio- Pleistocene	Volcanic Rocks	v v v v v v v v v v v v v v v v v v v	Pyroxene Andesite	Caldera Formation	Property.
	9 Lio Ce De	Pre-calderic	23 L L L	Tuff Dacite Altered		
Tertiary	5. 10	Volcanic Rocks	00000	Pyroxene Andesite 9-11 Ma Altered Tuff Basal Conglomerate	s	
Ţ	Miocene	Basement Rocks	+ + + × × × + + + + + + × ×	Diabase Granite Porobyry		
	Σ		+ + + +	(14.1±0.8Ma) Biotite Granite (15.2±0.8Ma)		

Maffic ------- Silicic

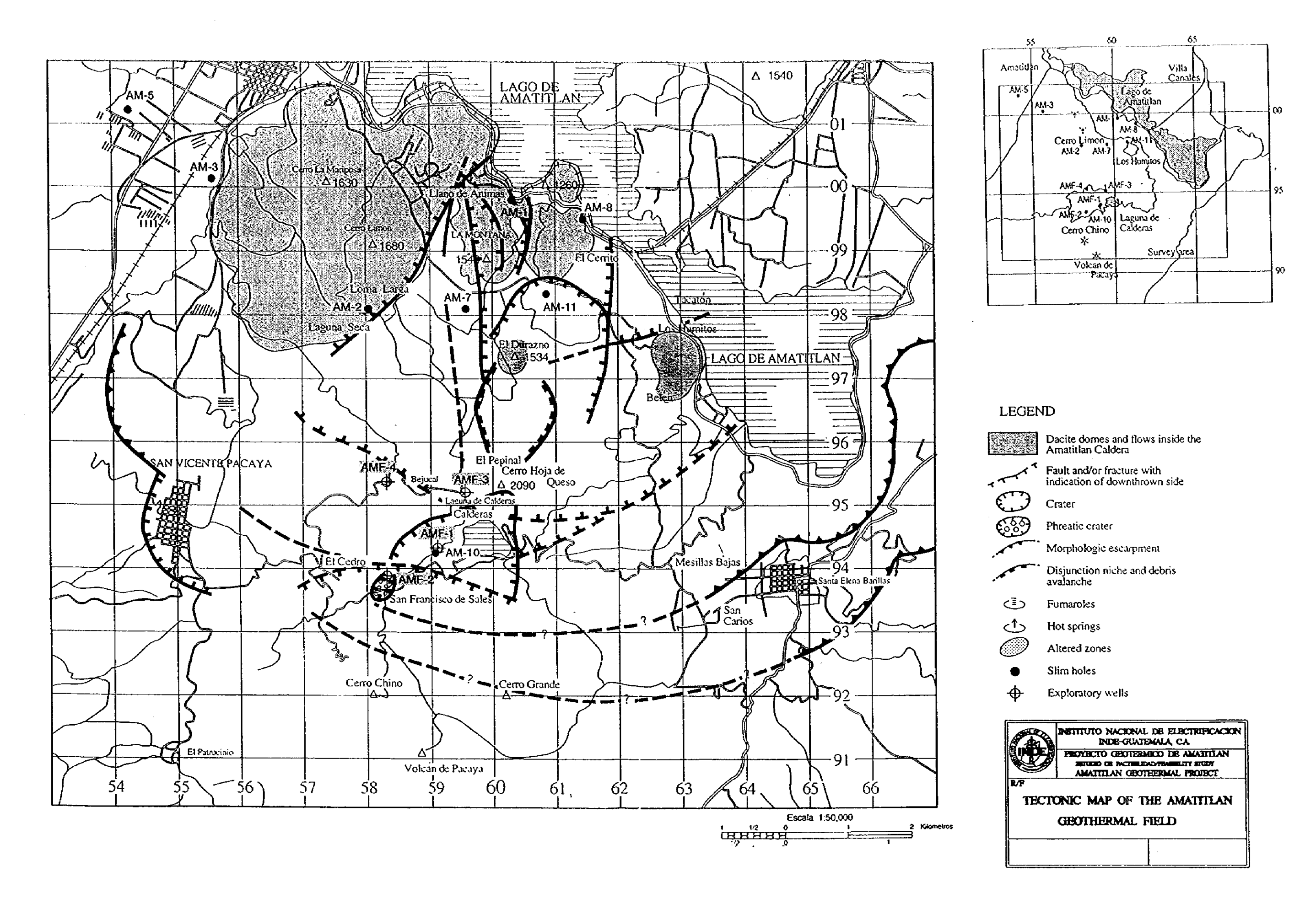
第6.3.2 図 Amatitlan 地域の地質層序



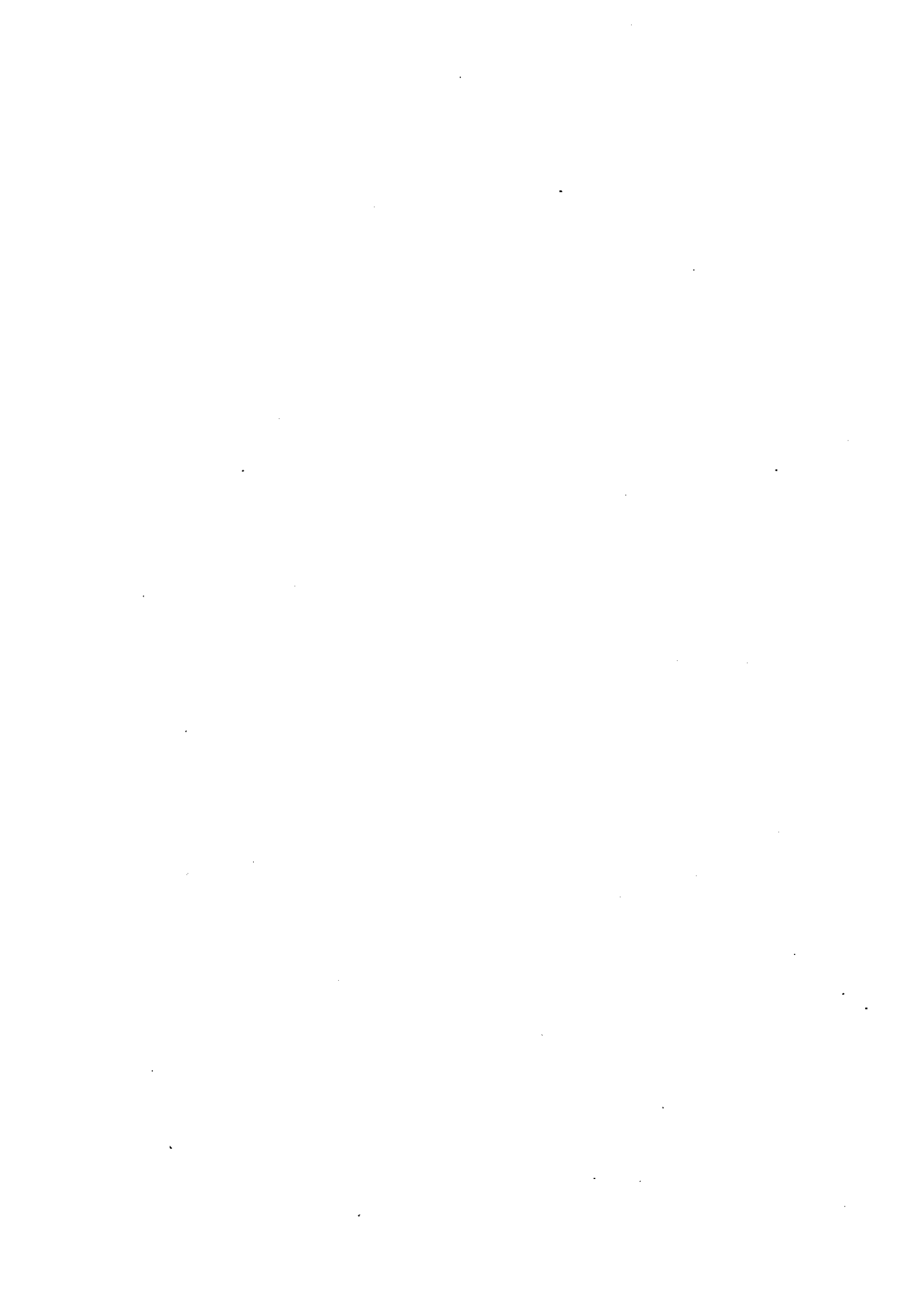


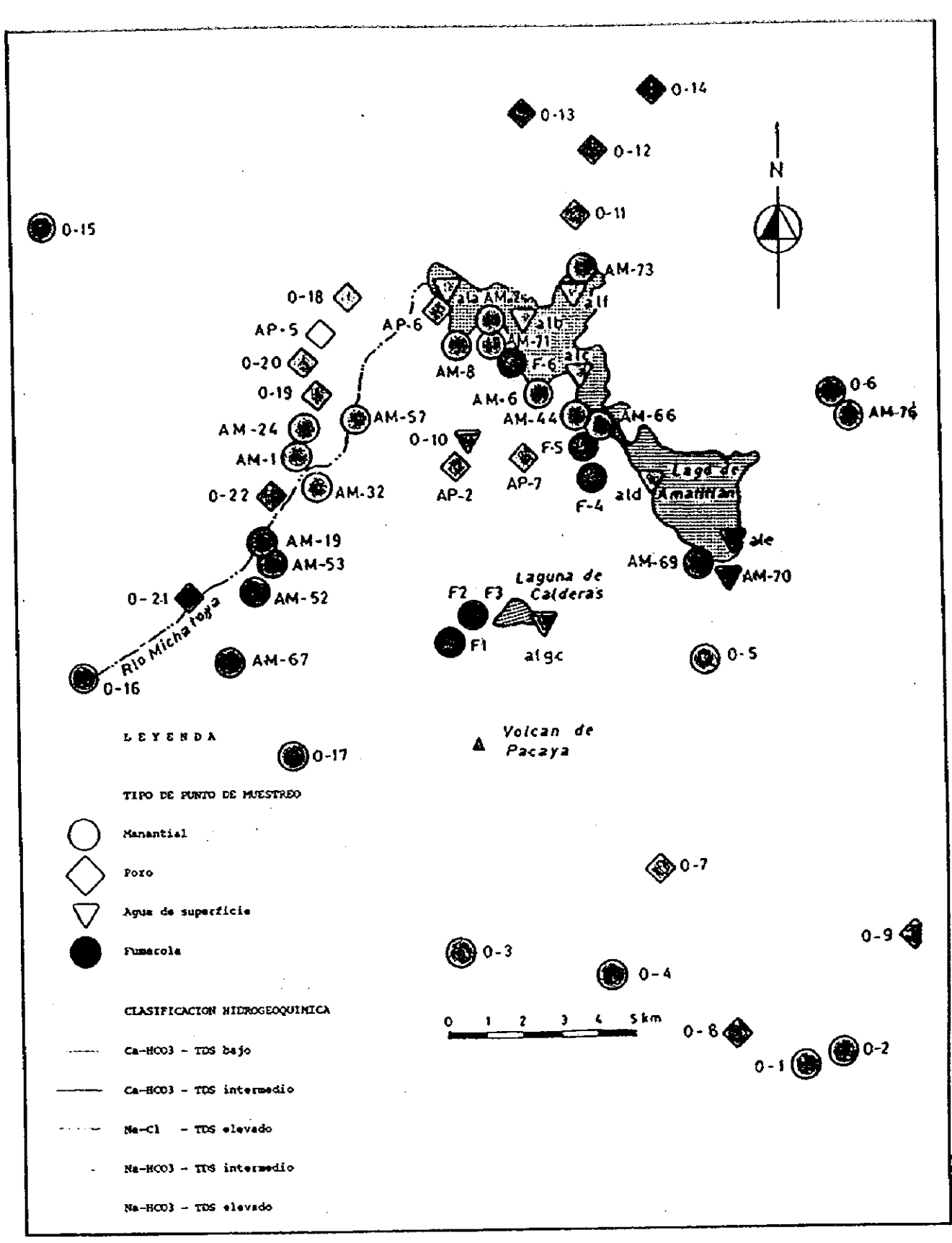


第6.3.4 図 Amatitlan 地域の地質断面図



第6.3.5 図 Amatitlan 地域の地質構造図





第6.3.6 図 Amatitlan 地域の温泉・噴気分布図

第6.3.1 表(1) Amatitlan 地域の温泉水・噴気ガス分析表 (温泉水化学分析)

	Ca #9/1 .	Kg 49/1	H2 13/1	(29/1		Alc. azq/i	504 49/1	01 29/1	f 49/1	8r 19/1	\$102 14/1	\$ #9/1	284 19/1	XQ!
	•••	••												
a ì	19.9	3.00	230	45.8	0.25	9.00	61.4	176	54	nđ	222	2.13	0.321	nd
15	17.5	1.40	350	17.8	1.38	2.14	9,39	1004	ađ	n4	256	6.70	0.662	nd
43	19.5	3.50	375	10.3	1,75	1.81	28.5	1317	no	nd	300	9.14	0.579	n¢
	11.5	2.50	190	10.2	5.38	4.98	21.8	113	60	44	551	2.41	0.0252	14
	35.3	12.5	350	59.5	9.38	12.7	19.1	289 1087	64	nd nd	244 257	3.62 10.5	0.0296 0.309	nd nd
316	26.0	2.50	675	55.1	4,50	2, 3 8 7,52	10.7 nd	14.7	ed ed	กร์	107	0.11	0.0111	64
452 1853	02.⊅ 37.0	29.0	30.0 67.5	5.10 15.9	0.13 0.13	6.91	15.7	97.9	ad	กร์	153	1.52	0.0169	ad
157	13.5	22.9 2.50	210	4.26	0.38	4.11	8.14	235	84	nd	162	2.42	0.0392	ad
356	\$2,0	15.0	220	32.1	0	5.58	37.2	271	nď	nd	241	3.51	0.0151	ad
167	22.0	4.50	17.5	28.8	88.0	2.00	nd	14.0	nd	nđ.	16.6	0.11	0.0119	ลส์
159	26.3	0.12	210	17.5	0.87	3.13	12.3	294	กต์	nđ	140	4.78	0.72	nđ
171	32.5	9.15	125	34.3	2.00	1.81	25.5	1170	nd	n4	89.5	0.16	0.437	n4
1173	28.8	0.37	15.0	1,15	0.125		nd	42.1	nd	n4	80.9	10.7	0.0203	04
116	11.3	13.3	1.50	2.08	0.25	1,51	ed	4.8	nd	nd	48.9	4.23	0.0137	กล์
d	23.8	1.15	105	22.1	0.125	3.15	15.2	153	nd	nd	25.4	1.26	กร์	nd
ilb	24,0	8.12	110	11.9	0.25	3.11	10.9	157	nd	nd	23.6	1.72	nd	nd
ilc	22.0	7.62	105 20.0	14.9	0.125	3.18 3.24	43.2 11.8	153 108	a4 a4 -	nd ad	25.0 33.2	1.72	ad nd	อร์ อร์
ld	20.0 20.0	11.3 11.0	80.0	7.65	0.125	3.18	11.2	104	nφ	กร	29.6	1.45	64	04
ile ilt	22.5	8.00	105	14.9	0.125	3.12	3.41	153	nd	nd	22.6	1.56	nd	nď
ip21	21.4	7.32	\$50	40,1	0.50	7.25	67.8	634	nd	nđ	330	8.94	0.0504	nά
1922	21.4	5.18	530	40.1	2.50	1.74	62.4	627	nd	nd	276	9.02	0.099	nd
1023	19.6	9.45	540	46.0	0.50	7.86	63.1	648	nd	nd	278	1.52	0.0612	ad
ep\$1	28.6	0.53	625	78.8	n 4	25.1	\$5.7	355	- nd	64	243	1.65	0.0166	A É
2052		5.00	575	92.7	0.50	25.3	53.3	219	กต์	no	256	7.70	0.0229	₽ď
1953	5.36	7.32	575	89.7	0.50	24.2	18.1	345	64	nd	135	7.50	0.0229	กด้
195	25.0	3.21	430	34.3	- uq	3,42	43.5	634	n d	nd	192	5.56	0.027	ñđ
1971	36.6	2.85	800	65.4	2.00	1.25	137	1213	ηď	ud	29.2	7,39	0.139	nd.
1972		3.93	800	75.4	ก่จี	1.19	110	1236	nd	nd	26.3	7.10	0.149	nd
2973		3,57	780	57.8	54	1.03	135	1220	nd a d	04	25.4	7.31	9.248	nd
ol -A	35.0	30.0	85.0	1.23	0.25	4.74	99.5	71.0	nd	nd	140 121	1.26	0.0183 0.016	14 14
02	30.0	20.0	80.0	11.6	nd Ad	3.79 1.64	49.4 nd	46.7 10.5	pa na	nd ba	96.2	0.34	0.0139	nd
03 04	18.8 15.0	4.75 4.62	7.50 12.5	nd	ed ed	1.85	ad	1.56	ลส์	ad Da	106	0.71	0.0143	n4
05	11.3	3.25	nd	1.53	Þa	1.16	ad	34.8	nd	nd	83.4	0.28	0,0158	nd
06	15.0	5.00	ba	1.53	a4 `	1.52	nd	6.27	nd	nd	101	0.61	0.0171	nd
07	15.1	39.5	150	34.9	0.125		250	125	nd	bn	149	1.17	0.0136	ns
Q8	11.3	4.25	5.00	1.53	nd.	1.48	5.45	10.4	nd	ad	104	0.48	0.0125	nd
09	16.3	5.75	8.75		nd	2.02	ถจั	4.27	กจ	กส์	85.9	0.77	n đ	nd.
010	27.5	10.8	15.0	19.2	nd	3.05	nd	9.75	ρū	តថ	100	0.37	0.0205	
oli		7.12	37.5		nd	3.47	กิจั	13.9	nd	ađ	124	88.0	0.0177	
012		6.50	20.0		bn	2.50	. ១៩	6.95	nd.	nd	83.0		0.0181	
013			25.0		ad	3.16		10.5	_	bn	83.8		0.019	nd
014			18.7		តផ្	2.40		6.96	n 4	uą	100 69.8	0.98 0.71	0.0189 0.0169	
015			7.50		n d	1.39		6.96		bn ba	83.0		0.0147	
015			12.5		nd ad	1.88		17.4 9.75		uq na	83.4		0.014	
017 018			11.3 75.0		nd 0.2\$	1.63 3.75				nd nd	147	1.26	0.021	
019				5.21						nd	115		0.768	
020			220	. 64	0.50			192	n ¢	nđ	134	3.22	0.694	
021				* '		6.58				n4			0.079	
027				49,3					nd	nd			0.102	ħ

第6.3.1 表(2) Amatitlan 地域の温泉水・噴気ガス分析表 (温泉水化学分析)

Análisis hidrogeoquímicos efectuados en Italia.														
	Ca ag/1	89 89/1	Xa. 1\ps	K 19/1	li 19/1	Alc. aeq/l	504 #9/1	cl ag/l	f *9/1	Br ag/L	\$102 19/1	8 19/1	884 19/1	иоз 19/1
386	33.2	2.32	657	42.5	2.33	2.16	36.2	995	0.75	4.₹	211	7.26	0.662	(
11et	50.7	5.80	668	82.9	2.76	2.93	31.9	1114	0.55	4,81	252	8.5	0.309	1.18
3866	38.7	18.1	229	42.5	0.64	5.55	59.5	254	0.28	1.24	254	2.65	0.015	0.70
1106	36.6	0.31	762	51.3	2.45	1.81	85.4	1150	1.04	5.21	236	8.65	0.437	9.32
2473	35.9	9.54	16.4	5.9	0.07	3.74	8.29	32.8	0.33	•	125	0.16	0.0203	0.95
159£	19.8	5.14	552	46.2	2.69	7.25	\$7.2	647	0.70	2.48	260.5	5.2	0.0501	(
1922		7.89	549	45.3	0.49	7.74	54	653	0.68	2.48	273	8.4	0.099	(
4023	19.6	1.79	\$45	45.1	0.79	7.84	53.7	654	0.68	2,54	311	8.6	0.0412	(
3951	26.3	3,58	767	42.3	1.35	25.1	38.5	351	1.50	1.31	203	8.5	0.0165	(
ap52-	27.5	3.57	115	43	1.38	25.3	39.7	358	1.51	1.32	216	8.75	0.0229	(
ap53		0.53	779	38.95	1.26	24.2	1.47	370	1.58	1.36	151	9.22	0.0229	(
ap?I	34.4	2.36	818	54.7	2.53	1.25	-124.3	1283	1.36	5.64	16.9	9.24	0.159	<
2072		2.41	819	55.95	2.57	1.19	125	1300	1.41	5.76	12.3	9.1	0.149	(
ap 73	33.4	2.96	851	56.04	2.53		- 123.5	1279	1.35	5.64	8.78	9.62	0.248	(
ala	29.9	10.9	114	14.6	0.18		. 7.98	150	0.31	0.62	21.5	0.92	ad	0.90
ale	24.3	14.8	84.96	13.7	9.17		. 8.71	96.6	0.27	0.37	33.2	1.08	n₫	0.19
alf	30.1	11.	113.5	14.4	0.18		8.04	149	0.3	0.62	22	1.24	ad .	0.91
ol	36.4	34.9	87.2	17.5	0.12		109.5	62.6	0.26	0.24	118	0.4	0.0175	1.73
07	33.7	90.6	180	28.7	0.22	1.36		121	0.32	0.37	146	0.86	0.0136	0.99
022	33.7	17.1	207	32.9	0.36		55	138	0.63	0.56	149	2.0	0.102	0.78

第6.3.1 表(3) Amatitlan 地域の温泉水・噴気ガス分析表 (温泉水同位体分析)

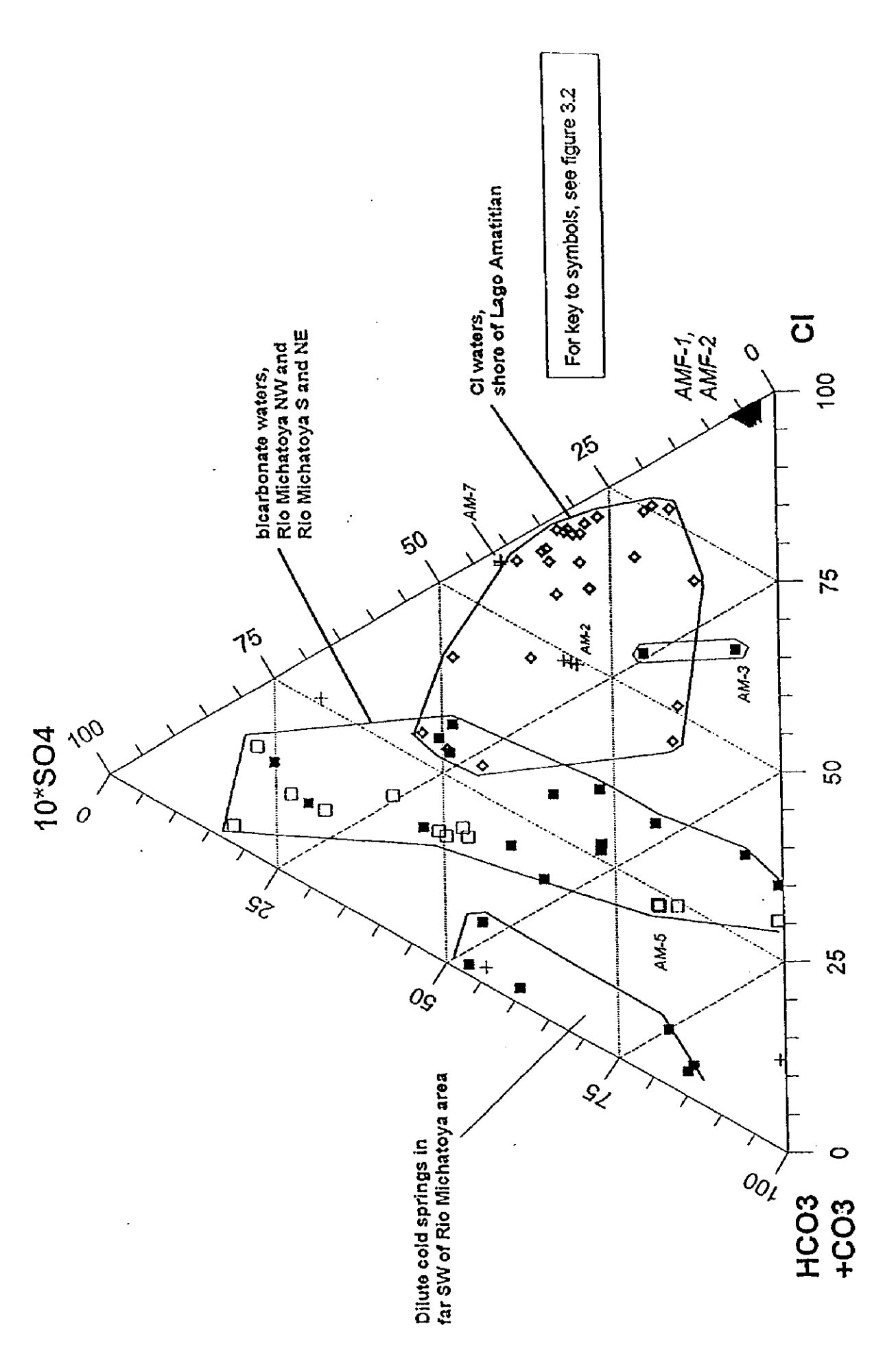
Análisis isotópicos.			
muestra	oxigeno-18	deuterio	
AM-1	-8.55	-65.8	
8-1%A	-7.03	-56.3	- 1
AM-44	-6.88	-55.1	
AM-52	-9.68	-68.9	1
AM-66	-7.81	-58.3	
AM-71	-6.51	-54.0	ļ
AM-73	-7.70	-57.8	1
AM-76	-7.80	-54.7	ı
0-1	-8.75	-61.5	
0~3	-8.74	-61.4	- [
0-4	-8.50	-59.9	1
O-5	-7.99	-54.9	
0-7	-9.12	-64.8	1
0-10	-7.82	-59.4	- 1
0-13	-8.85	-65.2	
0-14	-8.40	-61.8	
0-15	-10.21	-72.5	
0-16	-9.48	-67.3	
0-17	-9.22	-63.9	
0-20	-8.00	-65.3	
0-22	-8.85	-66.3	
ALA	-4.96	-42.0	
ALC	-4.83	-42.7	
YFE	-2.70	-28.0	
ALF	-4.93	-43.0	
AP-2-1	-5.91	-57.4	
AP-2-2	-5.98	-57.1	•
AP-2-3	-5.95	-56.4	
AP-5-1	-5.48	-62.5	
AP-5-2	÷5.54	-63.0	
AP-5-3	-5.49	-61.7	
AP-7-1	-6.78	-56.0	
AP-7-2	-6.70	-55.8	
AP-7-3	-6.74	-56.0	
F-1	-14.89	-104.0	
F-2	-8.06	-54.4	
F-3	-7.70	-53.1	
F-4	-14.78	-97.5	
F-5	-13.67 -11.91	-93.5 -94.1	
F-6	-11.9L	-84.1	

第6.3.1 表(4) Amatitlan 地域の温泉水・噴気ガス分析表 (噴気ガス)

	920	002	#2\$	H2	CH4	8 t	35	02	XH3
	¥ t	. 41	Yt	A.f.	¥\$	V \$	A.f.	Vt	VE
i -2	95.79	4.16	0.00696	0.00165	0.001373	0.000024	0.0337	0.0103	0.00085
F-3	95.67	4,275	0.00742	0.00272	0.001394	0.000022	0.0423	0.00218	0.00081
1-5	3 9,322	0.07472	0.0000195	0.00000556	0.000207	<0.00001	0.00256	0.000702	0.00051
(*) ALC	74.49	5.433	0.011	0.00143	0.00193	0.000037	0.0606	0.00551	0.00077
(*) ALA	39.31	0.0865	0.000405	0.0000045	0.000308	0.0000005	0.00225	0.000108	0.00046

第6.3.1 表(5) Amatitlan 地域の温泉水・噴気ガス分析表(噴気ガス)

	503	uAA	Li A	AU s	° co	X2	02
	C05	H25	H2	CH4 V&		V\$	71 Y1
	Y\$	¥¥	YI	14	**	19	''
-1	69.3	(0.05	0.0007	0.017	0.000087	25.8	4.1
	71.5	<0.03	0.020	0.032	0.000089	21.6	6.6
-3	98.4	0.09	0.060	0.038	0.000033	0.97	0.05
	2.82	0.04	0,0002	0.00185	0.000065	15.8	21.2
-5	0.78	<0.05	0.00025	0.0010	0.000057	11.4	21.7
F-6	32.4	(0:05	0.0025	0.145	0.000415	52.8	14.5



第6.3.7 図 温泉水の降イオンの三角図

(3) 既存調査結果

Amatitlan 地域には多数の温泉・噴気が分布する(第 6.3.6 図)。温泉は約40 あり、それらの泉温は 50~97℃である。温泉は主に Amatitlan 湖畔、Rio Michatoya川流域に分布し、噴気活動は Pacaya 火山の南麓に認められる。温泉水、地表水、噴気ガスの化学分析・同位体分析値を第 6.3.1 表(1)~(5)に示す。解析は小口径試錐孔(AM-2・3・5・7)の熱水、及び Pacaya 火山の北麓で掘削された大口径試験井(AMF-1・2)の化学分析・同位体分析値も含めて行っている。

温泉水の SO₄-HCO₃+CO₃-CI の陰イオンの三角図(第 6.3.7 図)では、4 区分される。希釈された低温水には Rio Michatoya 川の南西流域の温泉水が、炭酸質水は Rio Michatoya 川の北西・南・北東流域の温泉水及び AM-5 の熱水が対応する。塩素に富む水は Amatitlan 湖畔の温泉水及び AM-2・3・7 の熱水が対応する。また、AMF-1・2 の熱水は塩素質である。

エンタルピーと CI 濃度の関係図(第 6.3.8 図)から、熱水上昇域の地熱流体(AMF-1・2 の起源流体)の温度は 330℃、CI 濃度 2,500 ppm と推定される。また、酸素・水素の同位体比と CIの関係図を第 6.3.9 図・第 6.3.10 図に示す。これらの図では、AMF-1・2 の地熱流体はマグマ水を反映する Pacaya 火山山頂の噴気と天水を結ぶ線上に位置する。このことより、AMF-1・2 の地熱流体は Pacaya 火山のマグマ水と天水の混合したものと解釈される。

6.3.3 物理探查

(1) 既存調查概要

本地域では、INDEにより、多種の物理探査が実施されている。1971年に67点の電気探査が実施され、1987年には重力・磁気、電気探査が実施されている。さらに、1988年から1991年には、23点のMT法探査により深部比抵抗探査が実施されている。

(2) 入手既存データ

今回の調査で、以下の地質調査に関する既存データを入手した。

- 物理探査総合解析報告書(1991)
- 予備可能性調査報告書(1995)

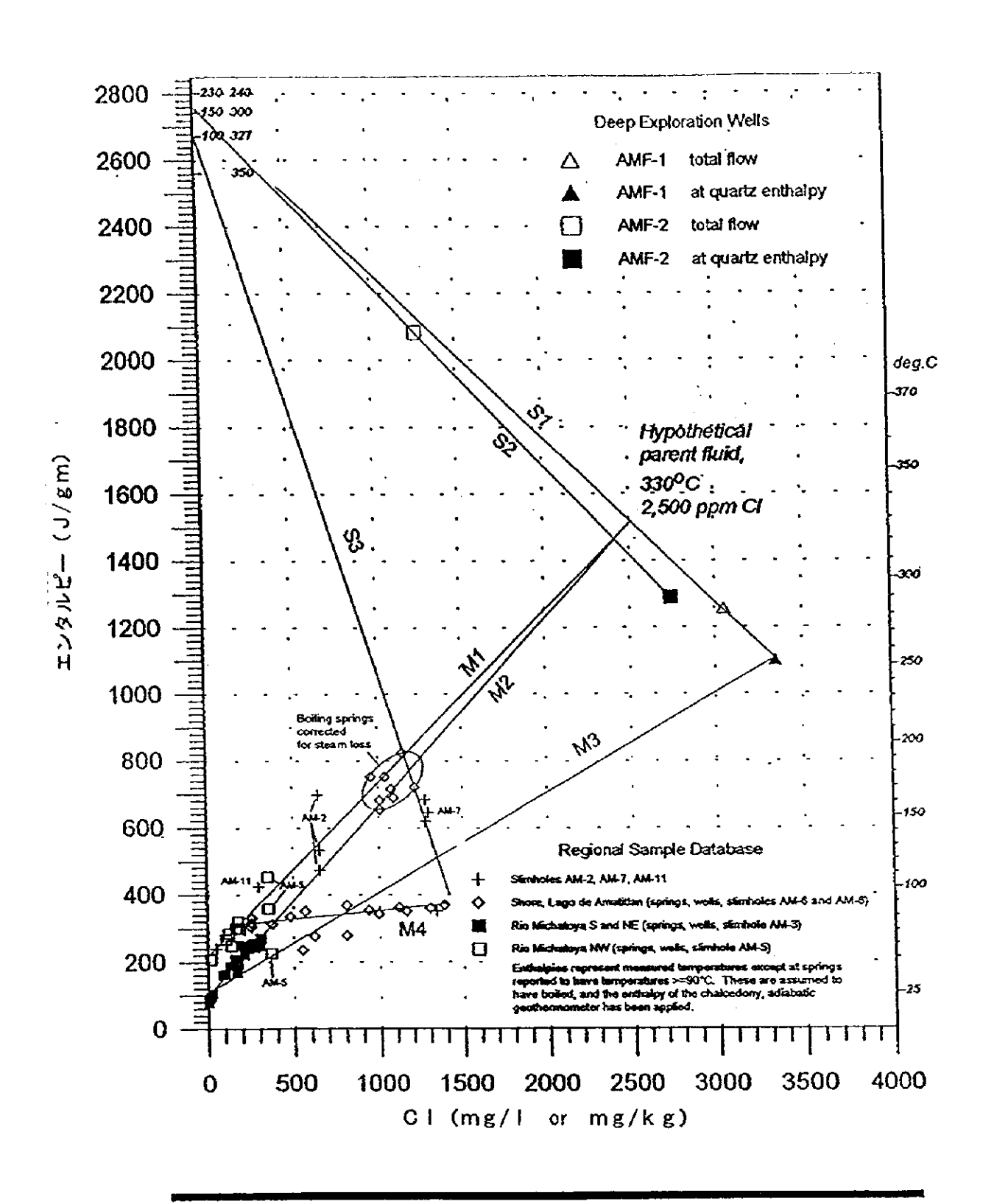
(3) 既存調査結果

1) 重力・磁気探査

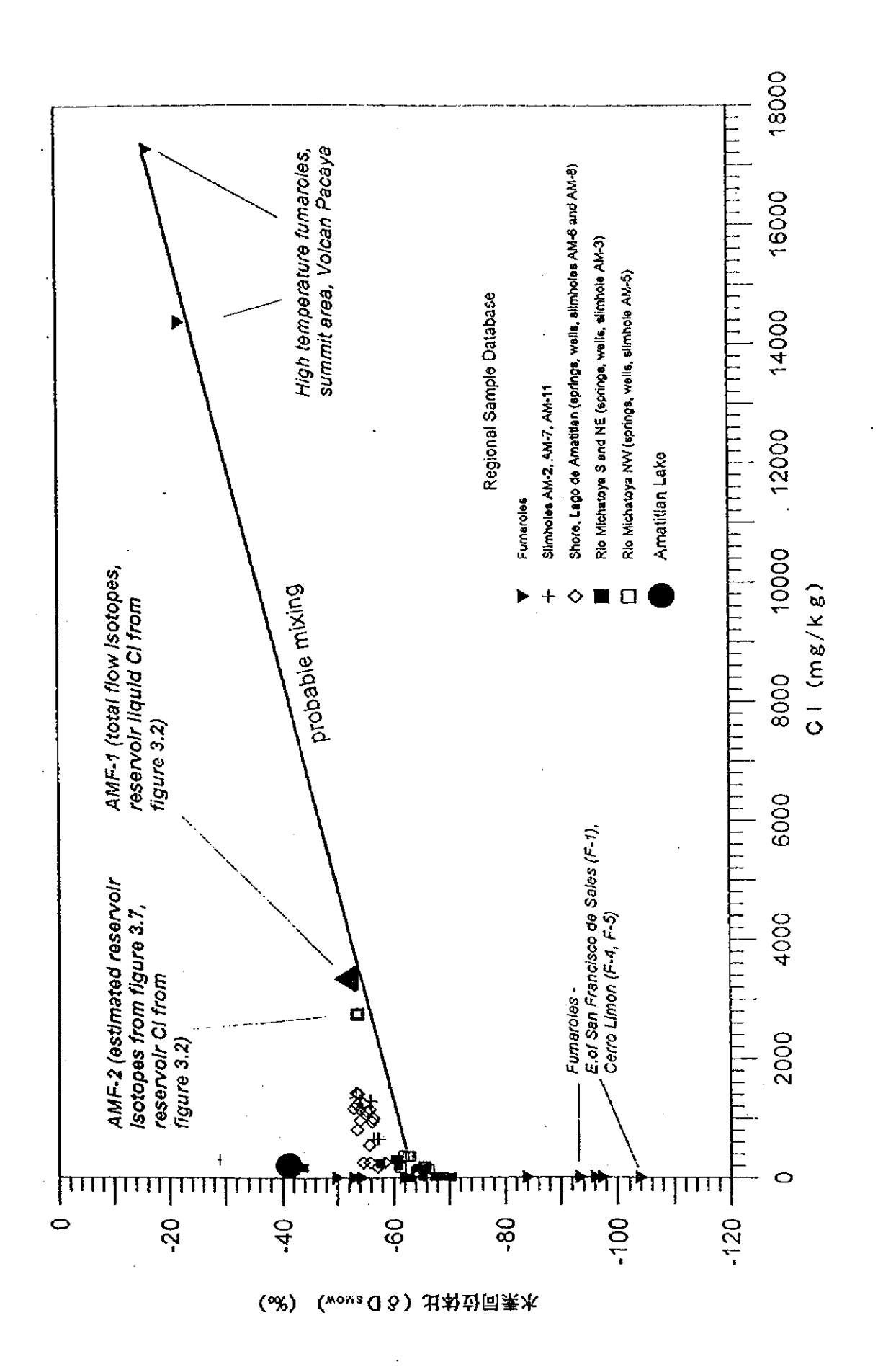
重力探査は INDE 所有の Worden 重力計により、320km2 の範囲で、323点で測定した(第 6.3.11 図)。種々の仮定密度が検討されたが、2.4g/cc が最適と判断されている。本地域のブーゲー異常図(仮定密度 2.4g/cc)では、大規模な低重力域で Amatitlan カルデラを反映している(第 6.3.12 図)。また、大口径試験井 (AMF $-1 \cdot 2 \cdot 3 \cdot 4$) 周辺および Lagunade Caldera 周辺には局所的に N-S 方向の構造も読みとれる。

磁気探査は、重力探査と同一側転井おいてプロトン磁力計(Geometries; G-816)を用いて全磁力を測定している。磁気探査の結果については、時間的制約より十分な平面図の説明がなかった。岩石の帯磁率測定をしていないが、残留磁気が感応磁気に比較して強いことなどが指摘されている。

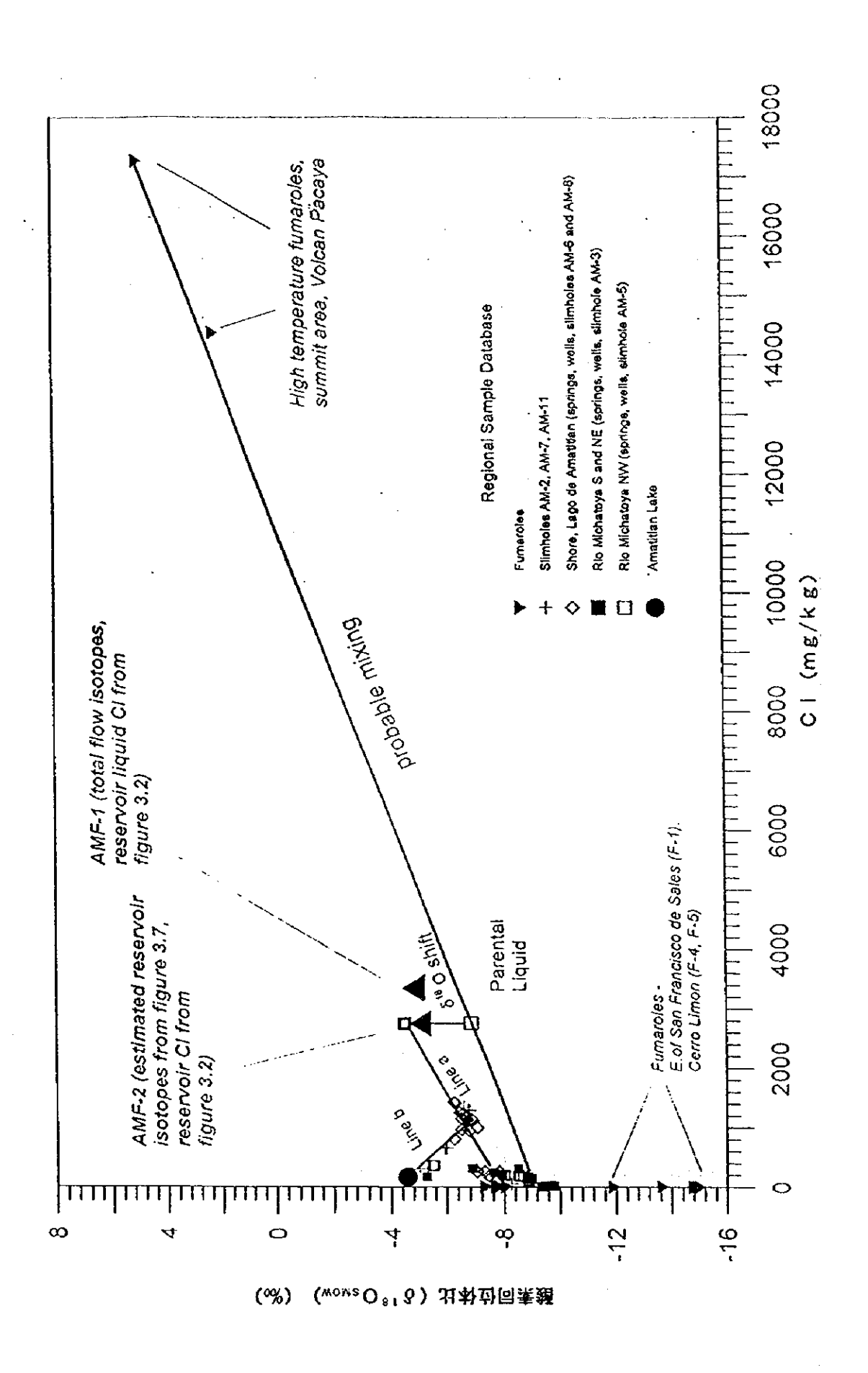
重磁力断面解析結果を第 6.3.12 図に示す(断面位置は第 6.3.14 図を参照)。Amatitlankanudera は階段状に陥没し、最大の陥没量は 2,000m にも及ぶ。また、Amatitlan カルデラ内には多数の断層により、基盤岩に凹凸が生じている。



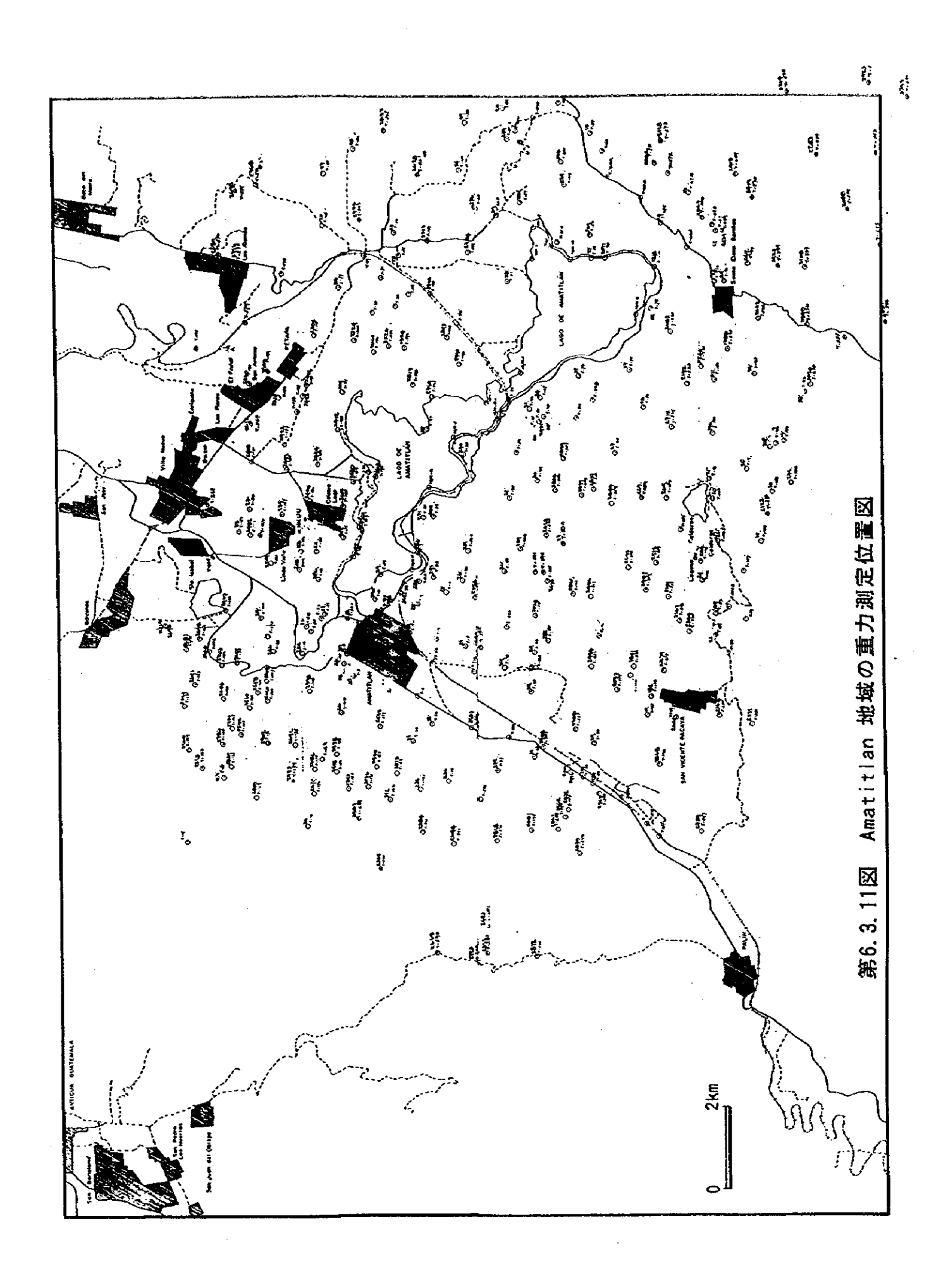
第6.3.8 図 温泉水のエンタルピーとCI濃度の関係図

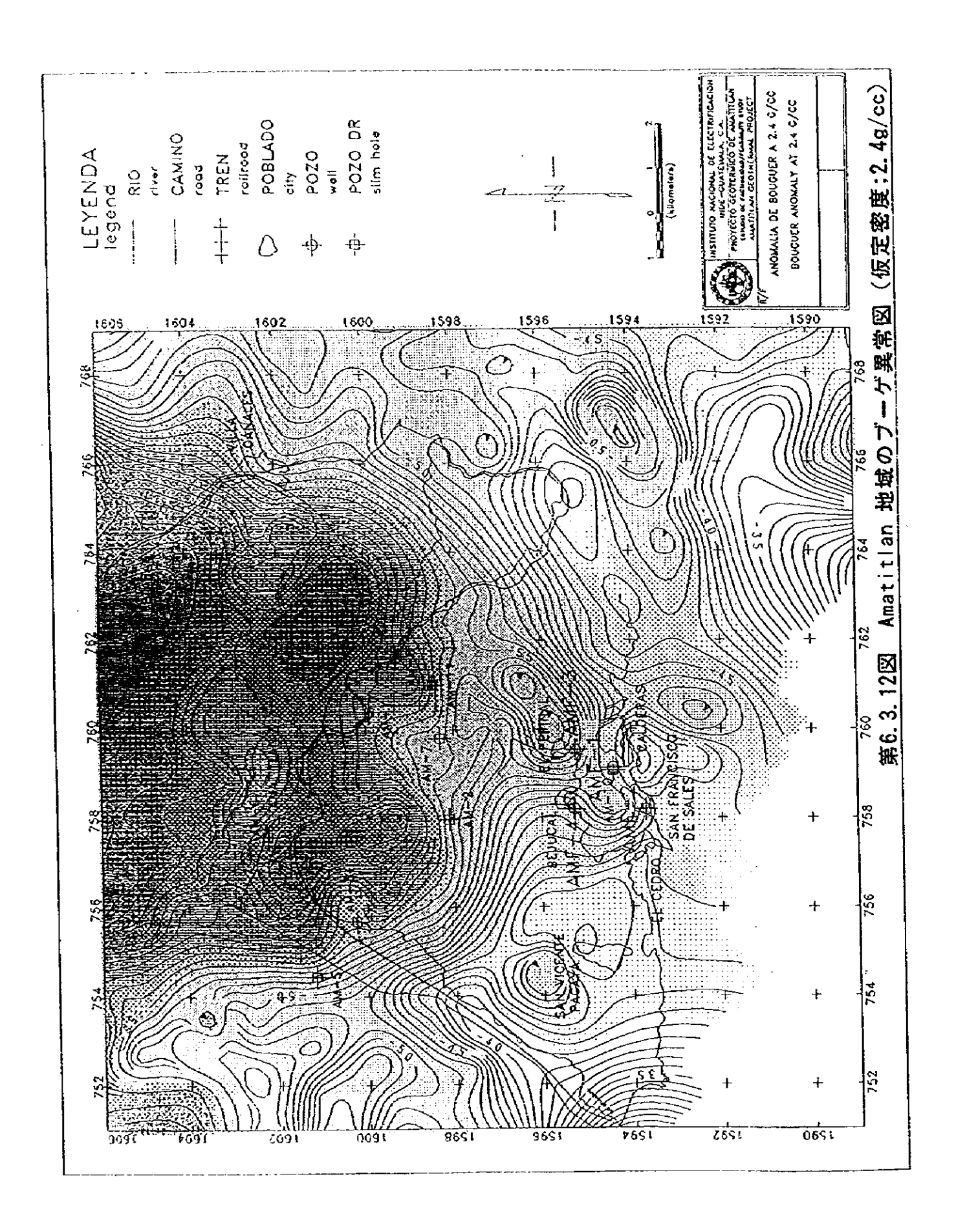


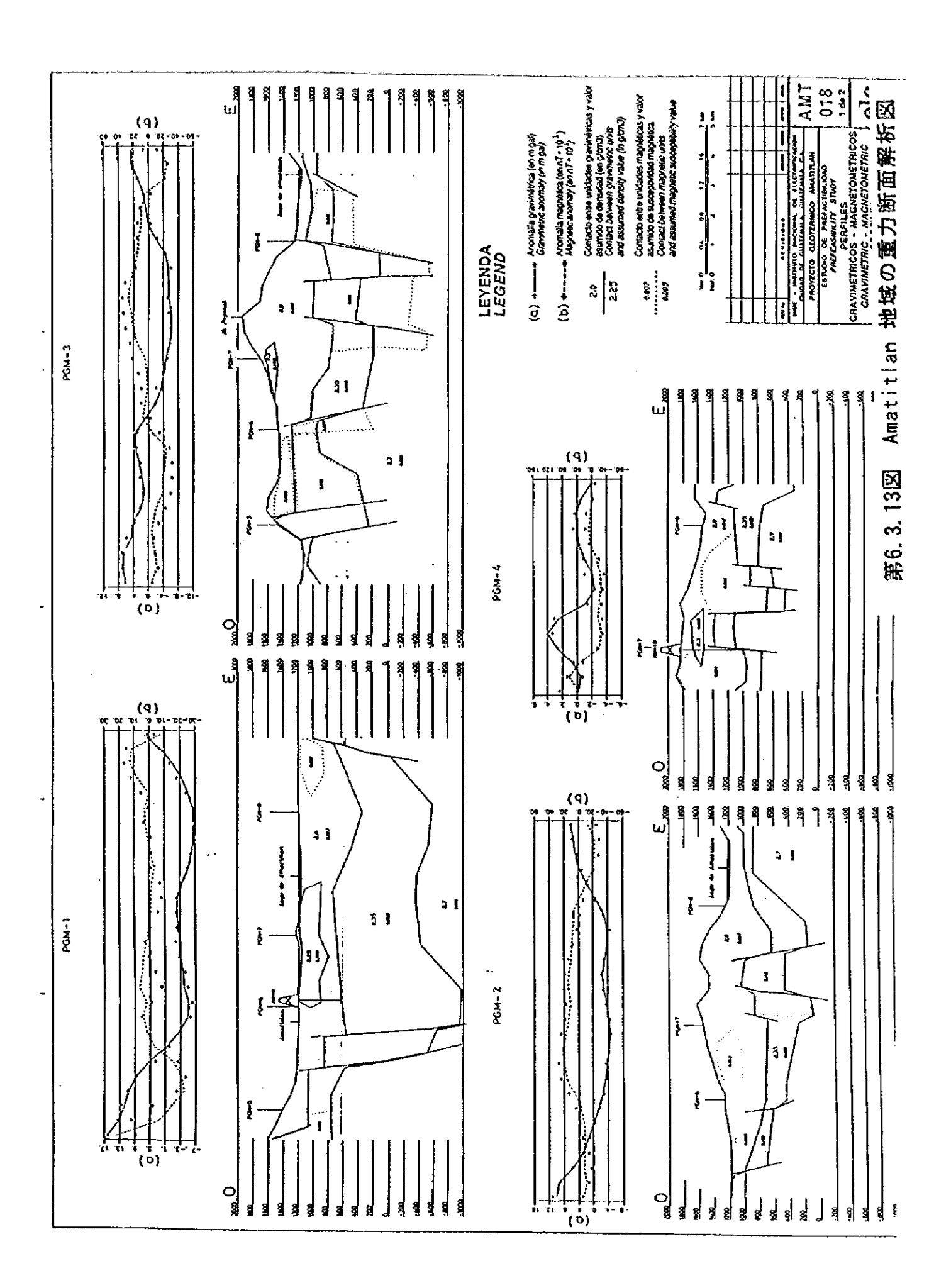
第6.3.9 図 温泉水の水素同位体比とこ 濃度の関係図



第6.3.10図 温泉水の酸素同位体比とこ 濃度の関係図







MOG. - MEDIVIO MOCHA, OL ELECTRICACION OF STATEMAN, GUITRANIA, CANTRAIN, CAN

LEYENDA LEGEND	Sondeo eléctrico ventical Ventical electric ecunding	Sordeo magnetitelótico Asgnetitelátic sounding	Limine del área cubierta sor la prospección graventetica y magnatométrica conserved by graventetic and magnatometric surveys	Trace de partil (geoelectric and magnetolablinica) Trace of profile (geoelectric and magnetolablinic)	Trace of profits (pravimetric and magnetometric)	
δ 0	ndeo elécatios vertical reset elecatic sounding	ndeo magnetitelárico egnetitelesic sounding	rite del área cultierta sor la prospección servidarica y magnatoridarica init of the axea covered by gravinebic of magnatometric serveys	aza de perill (geoeskatica y magnetolakirica) aca al prolle (geoeskatic and magnetolakiric)	aza de parti (gravimétrica y magnetométrica) nos el prolée (gravimetric and magnetométric)	
LEYEN	•					

	in i
	PNC PNC PNC
	PNB
<u>1-M54</u>	POW-T-MOO
9	PNA
Ş.	PGM-S
	No. of the second secon

2) 比抵抗探查

シュランベルジャー法による直流法電気探査は、はじめ67点、その後、155点以上実施されている。MT 法探査は Phoneix V5を用いて23点の測点について実施している。周波数は384Hzから0.00055Hzまで測定しており、探査深度は10km以上である。取得された信号の品質も比較的良く、十分な深部比抵抗構造解析が実施されている。電気探査の測点を〇印で、MT法探査の測点を口印で示した測点図を第6.3.14図に示す。電気探査結果にMT法探査結果が取り込まれ、再解析が行われている。

本地域の比抵抗構造は、大局的に地表から高一低一高の三層構造を示し、深部の比抵抗が高いのが特徴的である。深部に検出される高比抵抗層の上面深度である比抵抗基盤深度は、Amatitlan カルデラで深くなっている(第 6.3.15 図)。また、大口径試験井(AMF-1・2・3・4)周辺及びLaguna de Caldera 周辺には局所的は N-S 方向の構造も読み取れる。

比抵抗断面解析結果を第 6.3.16 図に示す (断面位置は第 6.3.14 図を参照)。比抵抗構造からも、Amatitlan カルデラは明瞭に読み取ることができる(PWA、PNC、PNA 断面)。Amatitlan カルデラ内では、比抵抗基盤深度は重力基盤深度と比較する浅く解析され、熱水変質により比抵抗が上昇したと解釈される。多数の温泉が分布する Lago de Amatitlan 湖畔では浅部に低比抵抗層が分布する(PNC断面)。

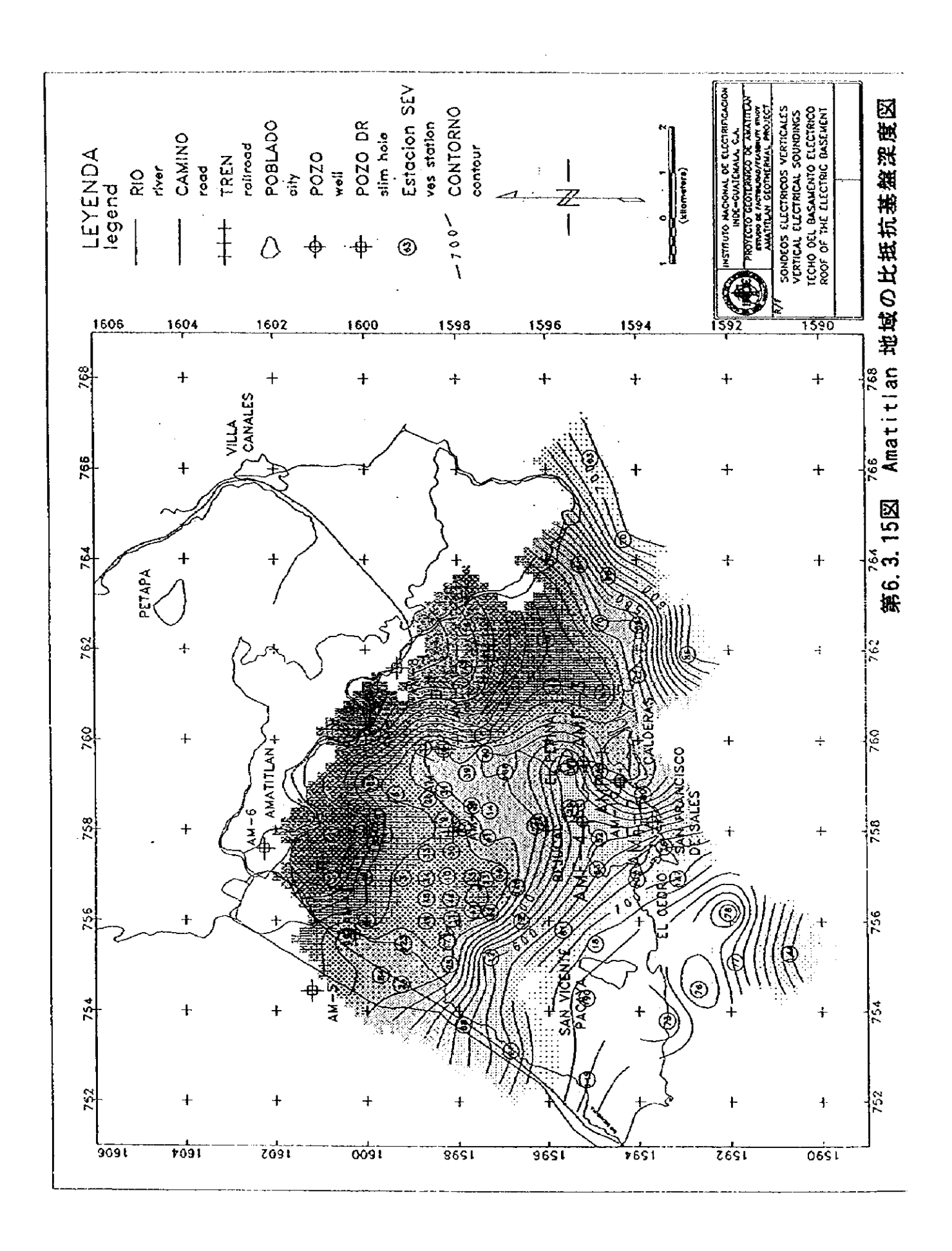
6.3.4 既存坑井調查

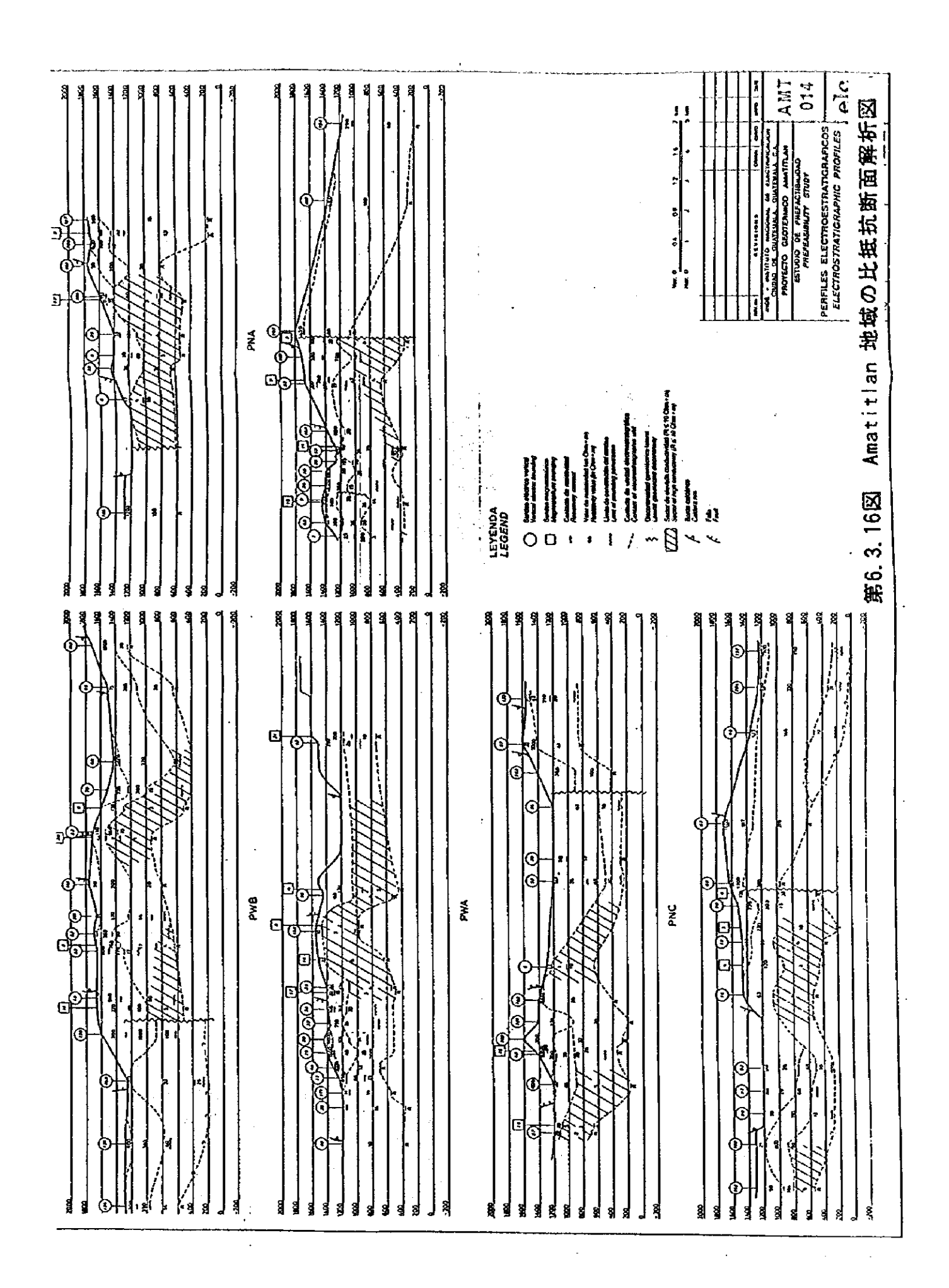
(1) 小口径詩錐調査

1) 既存調查概要

小口径試錐は地下の温度分布を把握するため、1979年から1990年にかけて9本掘削され、それらの深度は130~900mである(第 6.3.5 図)。Amatitlan 湖畔には多数温泉が分布することから、AM-1・6・7・8・11がAmatitlan 湖の西岸で掘削された。Amatitlan 湖の西側のデイサイト・ドーム周辺ではAM-2・3・5が、噴気活動が認められるPacaya 火山の北麓ではAM-10が掘削された。以下に、各孔の深度、孔底温度、最高温度、及び実施年を示す。

孔名	深度(m)	孔底温度 (℃)	最高温度(℃)	実施年
AM-1	129	62	105 (50m)	79-80
AM-2	490	171	171	82-83
AM-3	509	74	74	83-84
AM-5	434	126	126 (370m)	84-85
AM-6	546	<50	73 (50m)	85-86
AM-7	533	147	178 (300m)	86-87
AM-8	563	58	80 (50m)	88-89
AM-10	890	240	240	89
AM-11	682	82	188 (400m)	89-90





2) 既存調查結果

(ア) AM-1

AM-1 は、Pxaya火山の北北東方約9kmの標高 1,188m の地点で据削され、Amatitlan 湖の西岸に位置する。掘削深度は 129m である。本孔の地質は、全区間にわたり後カルデラ火山岩類からなる (第6.3.17 図(1))。温度検層は掘削から 11 日後に実施され、温度曲線は中間部で最高温度を示す。最高温度は深度 50m;105℃で、孔底(129m);62℃である。

(イ) AM-2

AM-2 は、Pacaya 火山の北北西方約7 km の標高 1,346m の地点で掘削され、デイサイト・ドームの南部に位置する。掘削深度は 490m である。本孔の地質は、全区間にわたり 後カルデラ火山岩類からなる (第 6.3.17 図(2))。温度検層は掘削から 20 日後に実施され、温度曲線は直線的に上昇し、最高温度は孔底(490m)で 171℃である。

(ウ) AM-3

AM-3 は、Pacaya 火山の北西方約 9.5km の標高 1,184m の地点で掘削され、デイサイト・ドームの西部に位置する。掘削深度は 509m である。本孔の地質は、深度 0~50m;沖積層、深度 50~320m;後カルデラ火山岩類、深度 320~509m;カルデラ火山岩類からなる(第 6.3.17 図(3))。温度検層は掘削から 12 日後で実施され、温度曲線はほとんど上昇せず、最高温度は孔底(509m)で 74℃である。

(工) AM-5

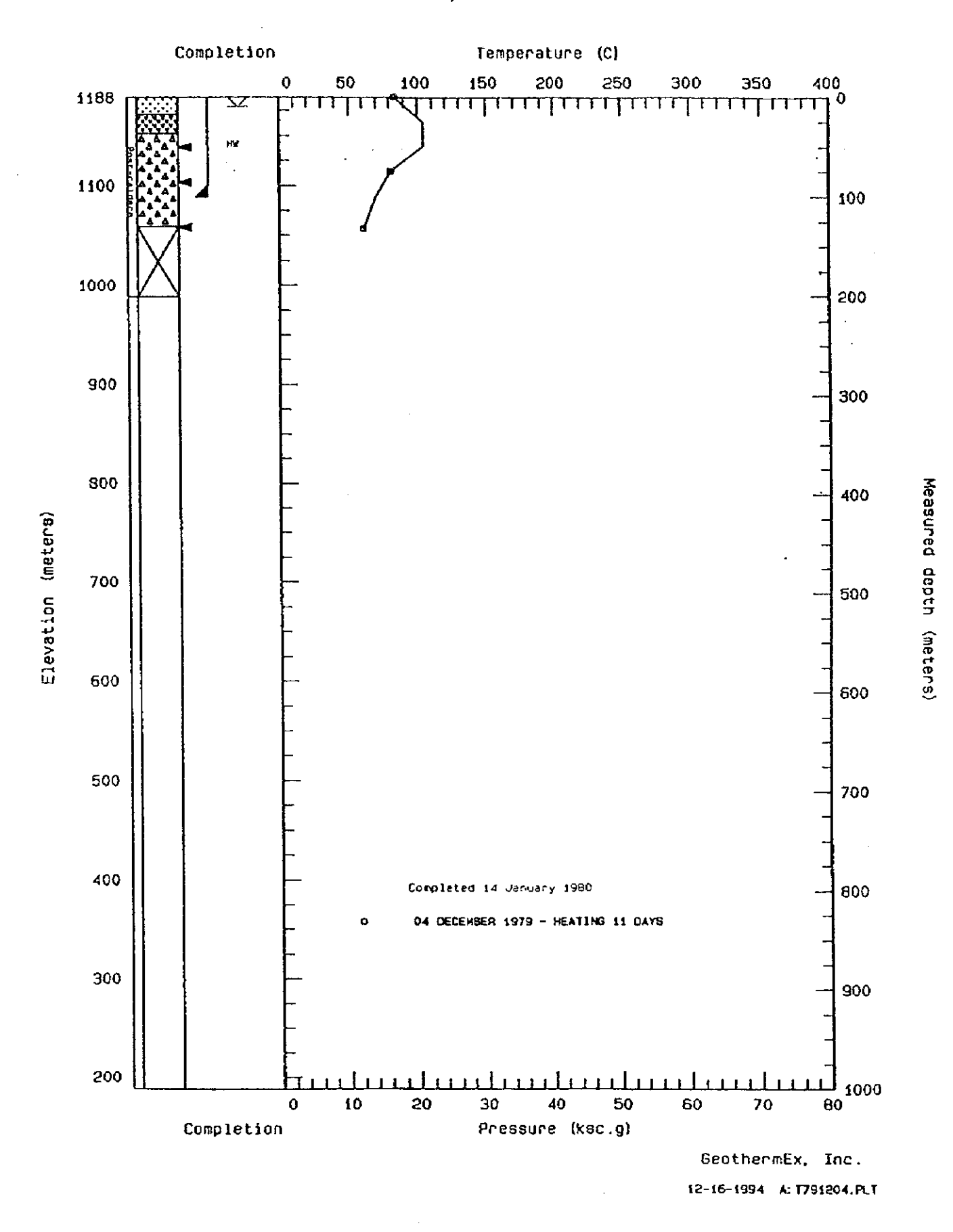
AM-5 は、Pacaya 火山の北西方約 10.5km の標高 1,218m の地点で 掘削され、デイサイト・ドームの西方に位置する。掘削深度は 434m である。本孔の地質は、深度 0 ~260m; 後カルデラ火山岩類、深度 260~434m;カルデラ火山岩類からなる (第 6.3.17 図(4))。温度検層は 掘削中実施され、温度曲線は直線的に上昇し、最高温度は最深測定 深度(370m)で 126℃である。

(才) AM-6

AM-6 は、Pacaya 火山の北北西方約 12.5km の標高 1,195m の地点で掘削され、デイサイト・ドームの北方に位置する。掘削深度は 546m である。本孔の地質は、深度 0~230m;後カルデラ火山岩類、深度 230~546m;カルデラ火山岩類からなる (第 6.3.17 図(5))。温度検層は掘削中実施され、温度曲線は中間部で最高温度を示す。最高温度は深度 50m;73℃で、最深測定深度(150m)で 50℃である。

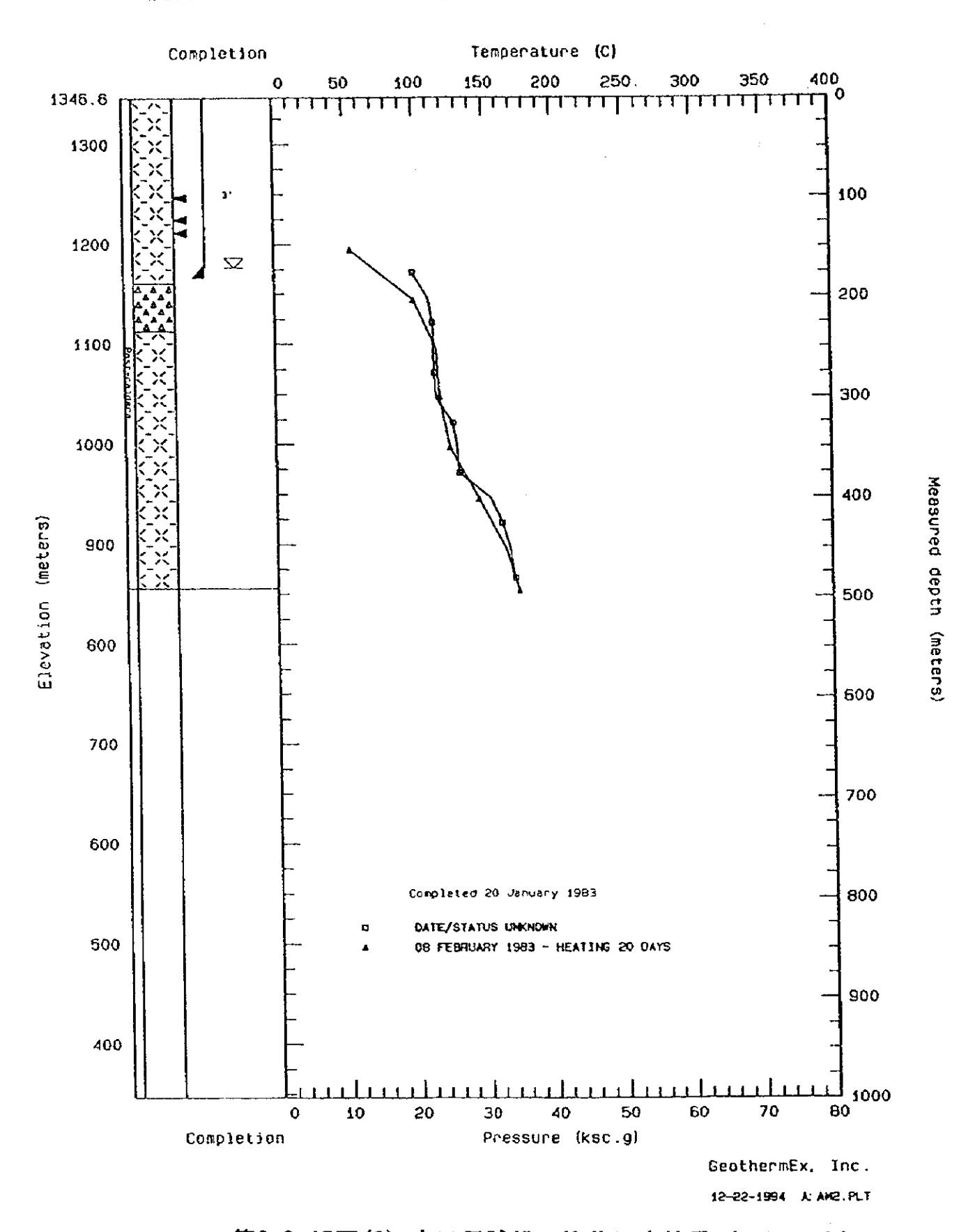
(力) AM-7

AM-7は、Pacaya 火山の北北東方約7kmの標高 1,408m の地点で掘削された。掘削深度は533m である。本孔の地質は、全区間にわたり後カルデラ火山岩類からなる (第6.3.17 図(6))。温度検層は掘削から1年後に実施され、温度曲線は中間部で最高温度を示す。最高温度は深度300m; 178℃で、孔底(533m); 147℃である。

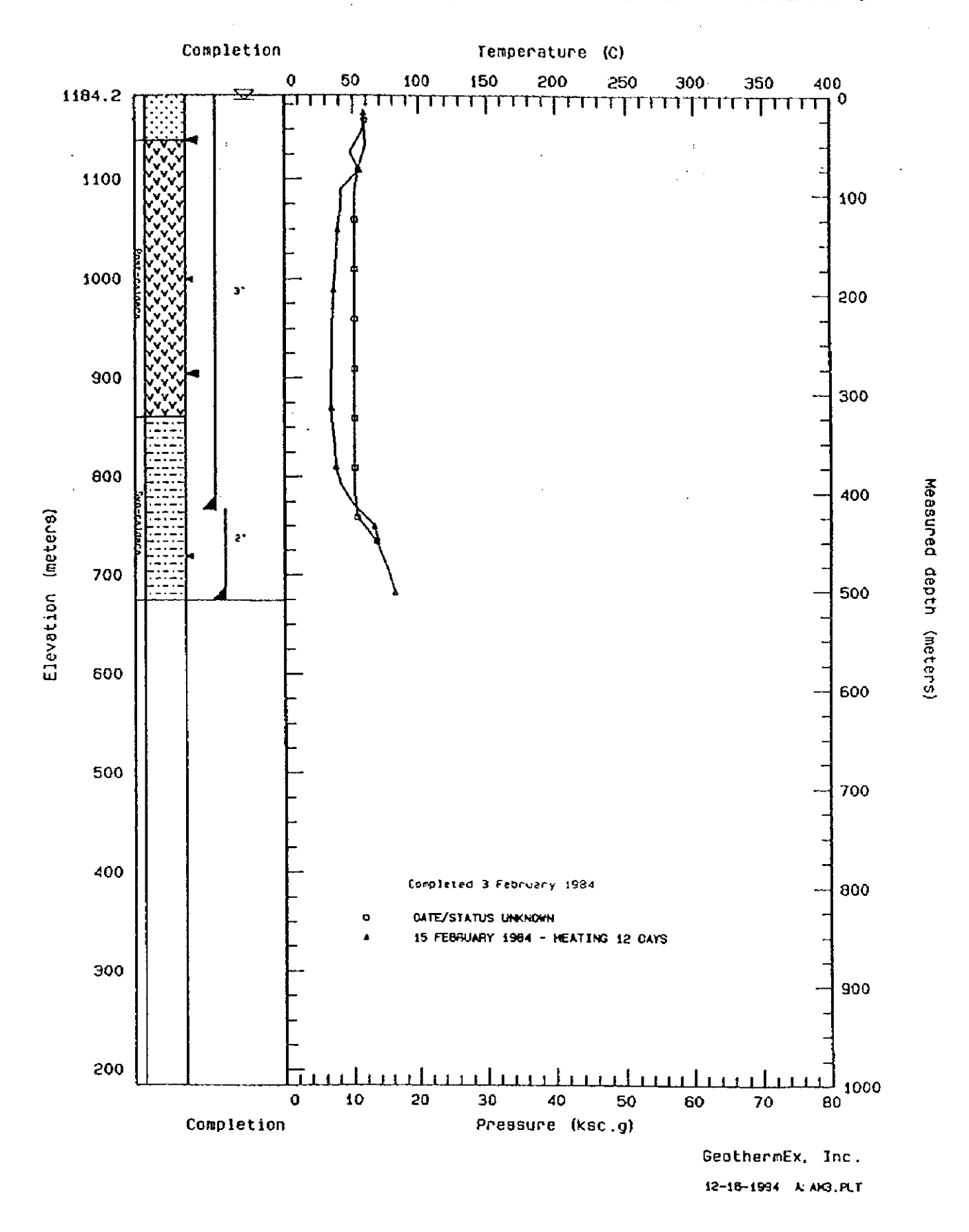


第6.3.17図(1) 小口径試錐の坑井調査結果 (AM-1)

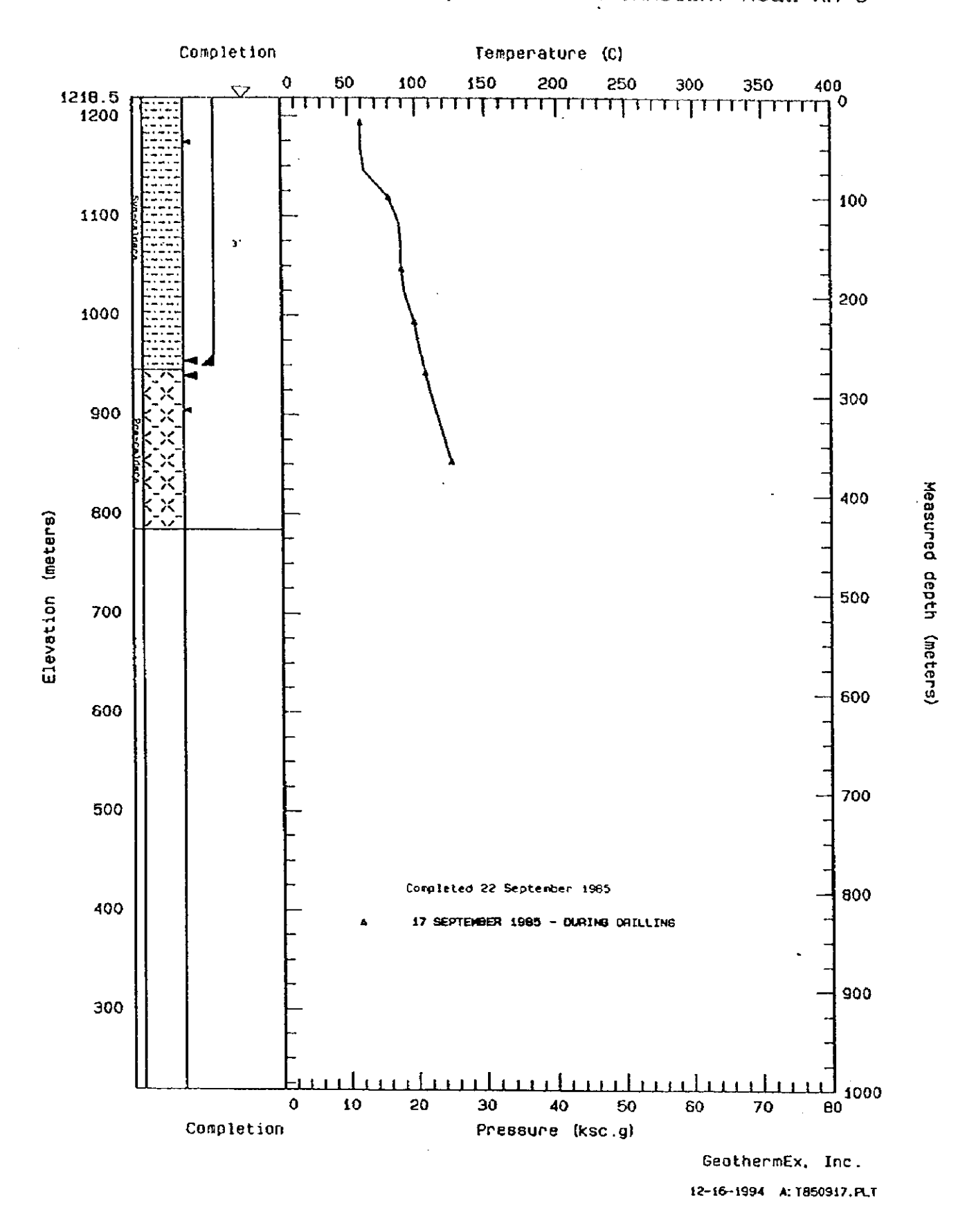
-70-



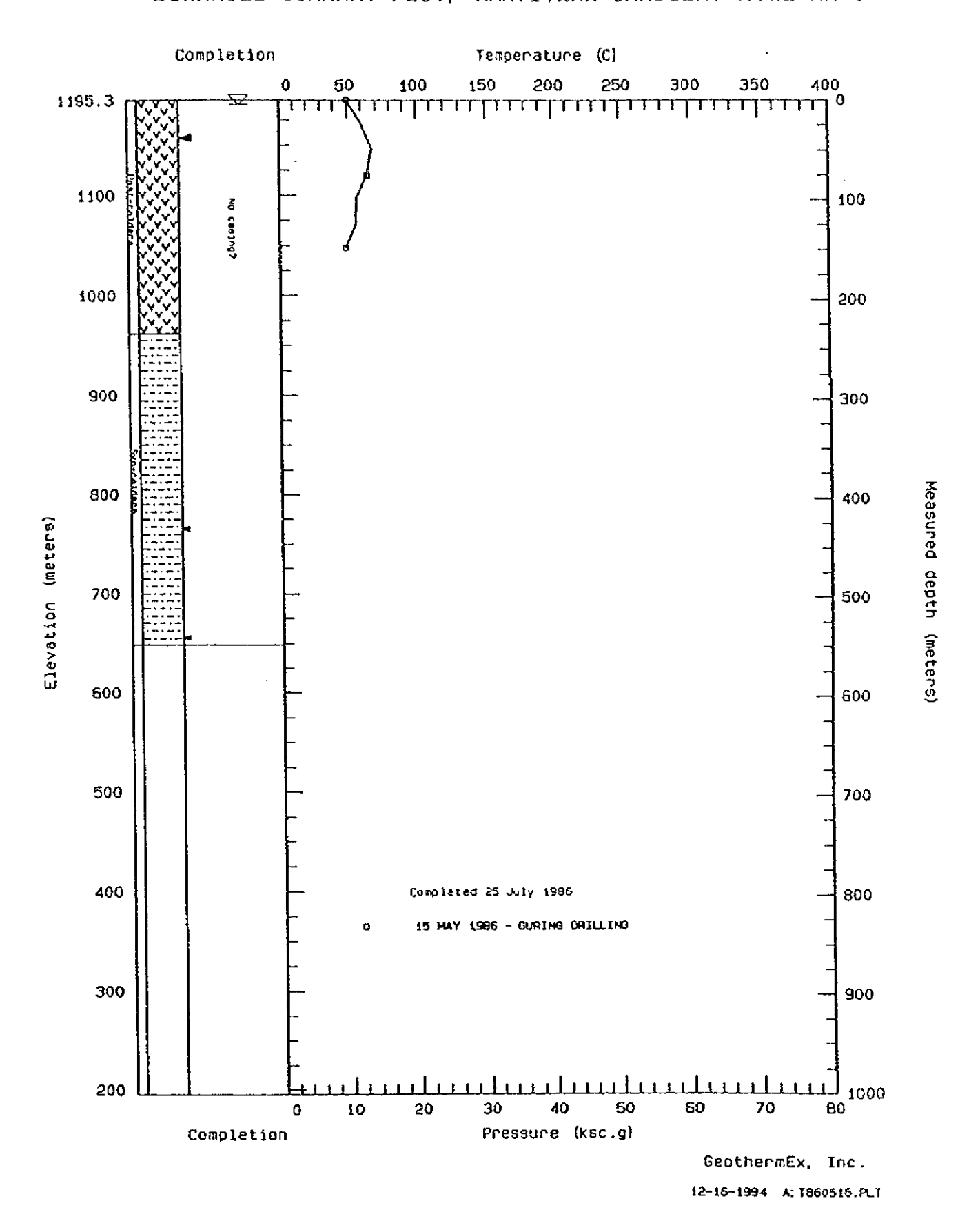
第6.3.17図(2) 小口径試錐の坑井調査結果(AM-2)



第6.3.17図(3) 小口径試錐の坑井調査結果 (AM-3)

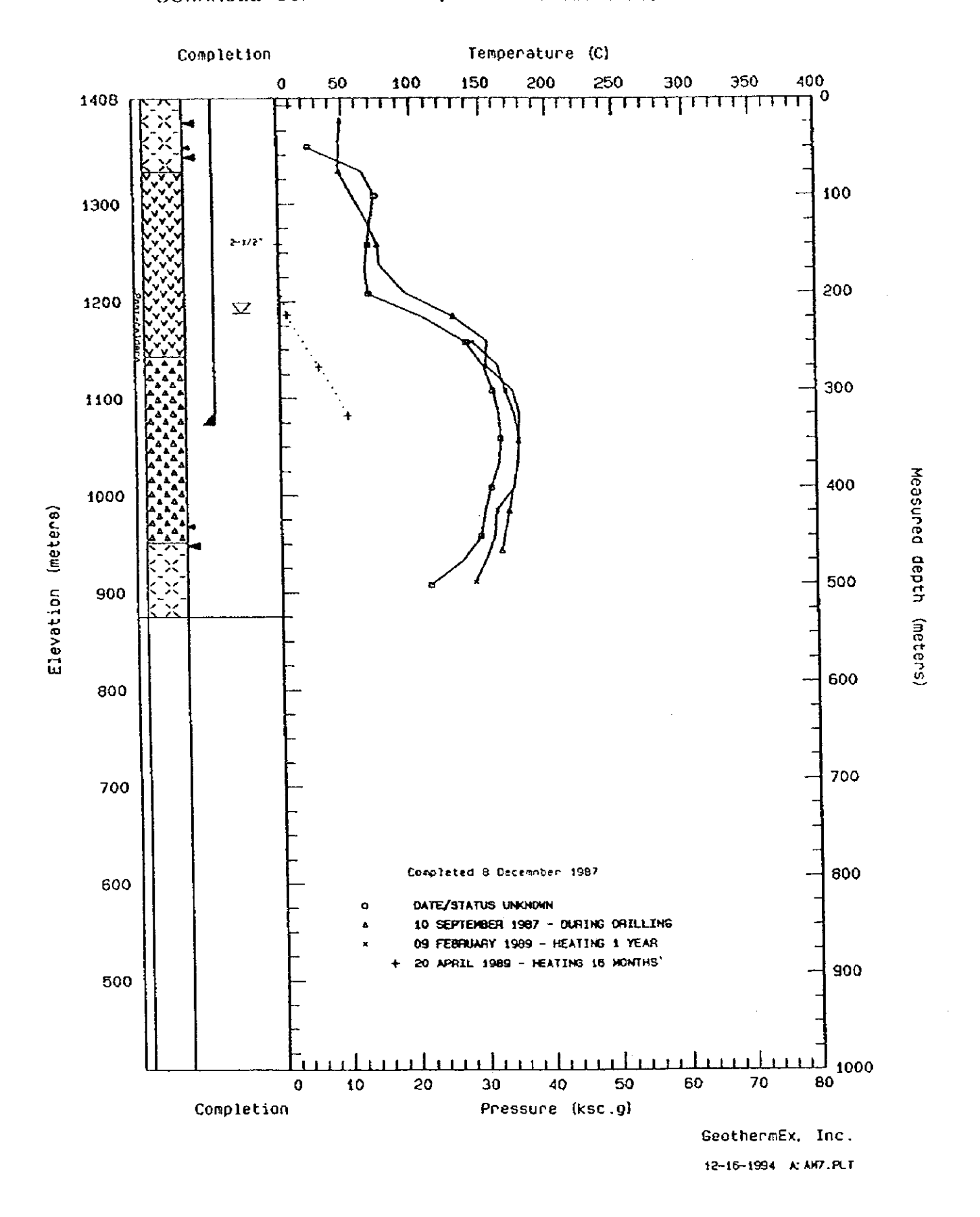


第6.3.17図(4) 小口径試錐の坑井調査結果(AM-5)

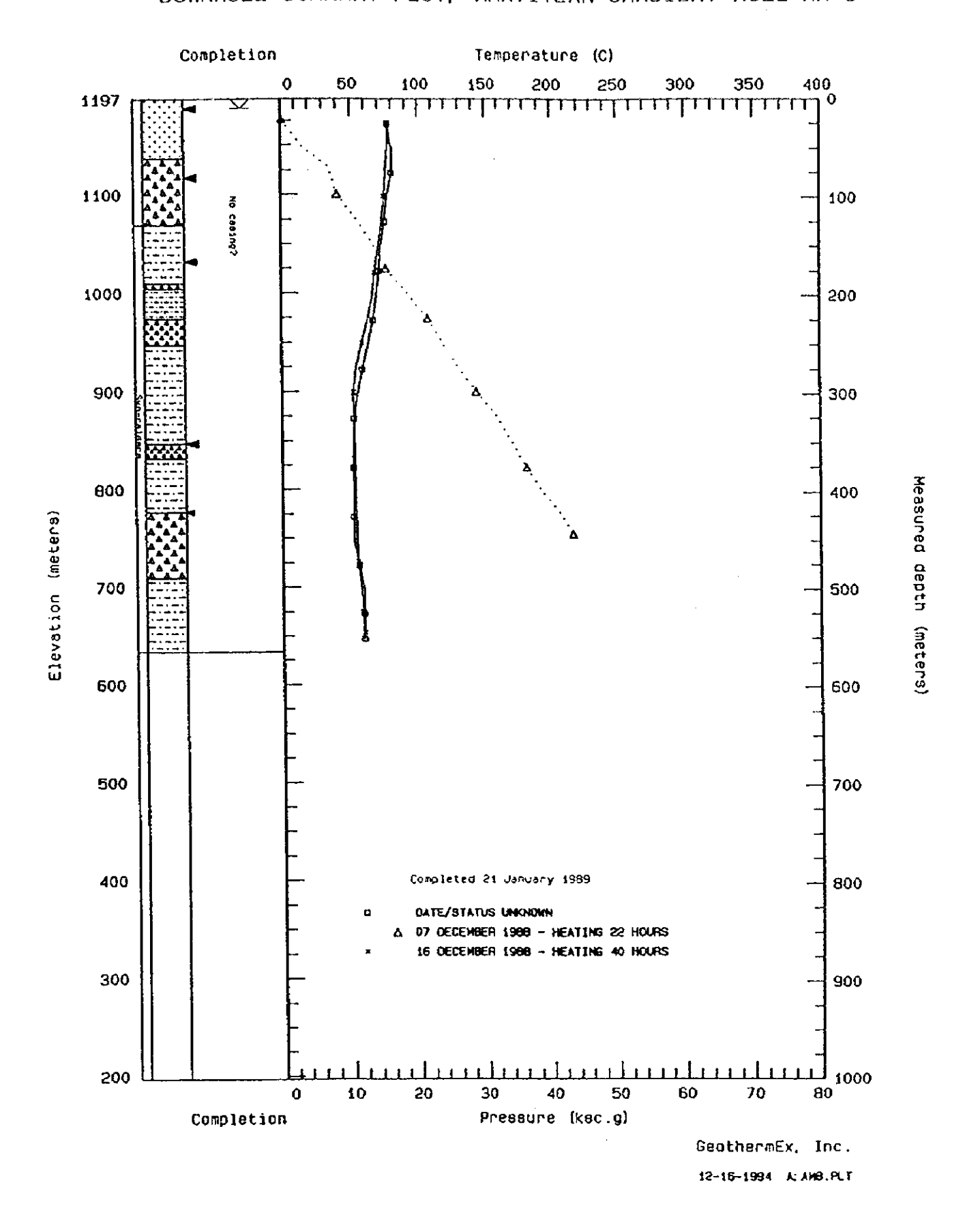


第6.3.17図(5) 小口径試錐の坑井調査結果 (AM-6)

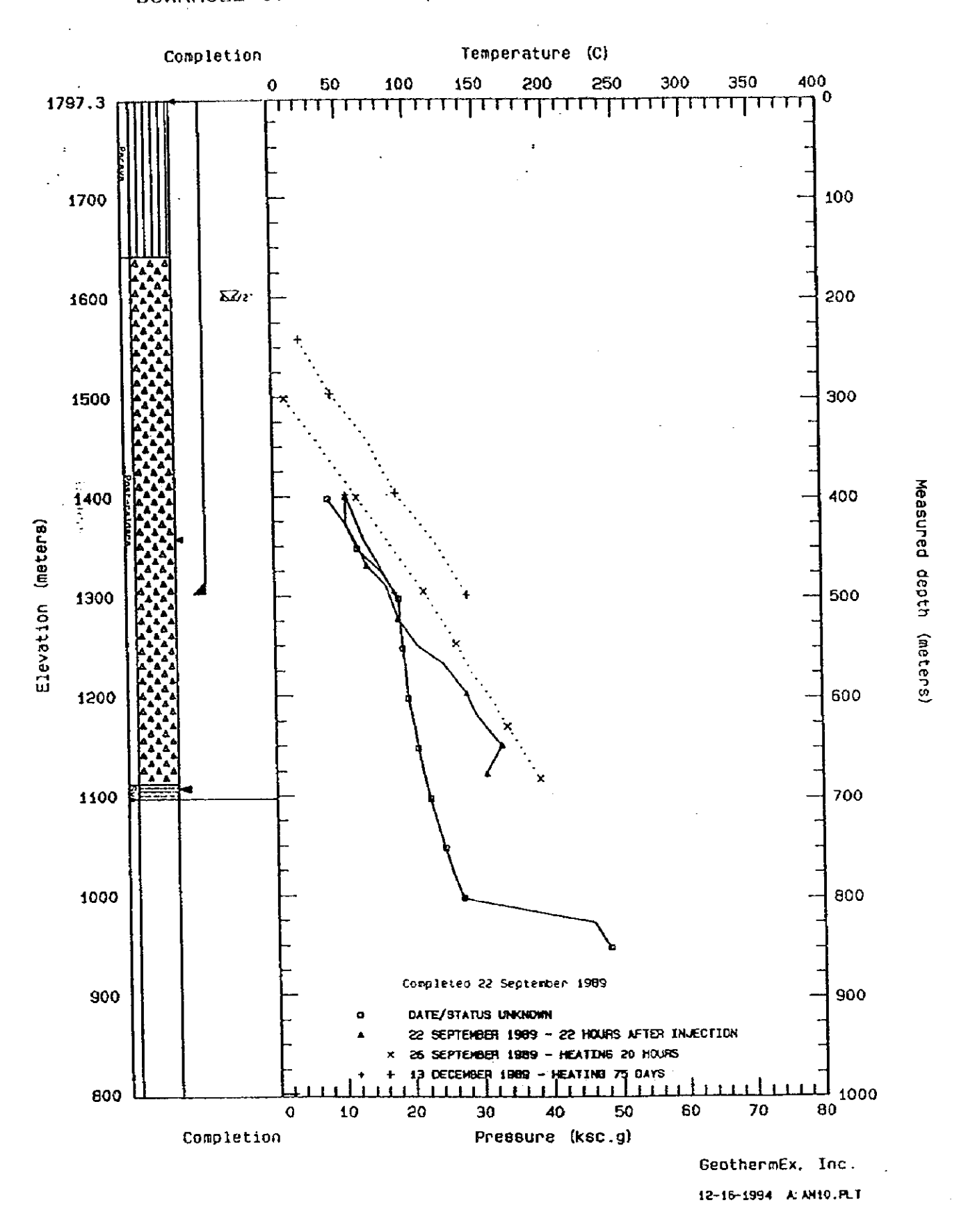
DOWNHOLE SUMMARY PLOT, AMATITLAN GRADIENT HOLE AM-7



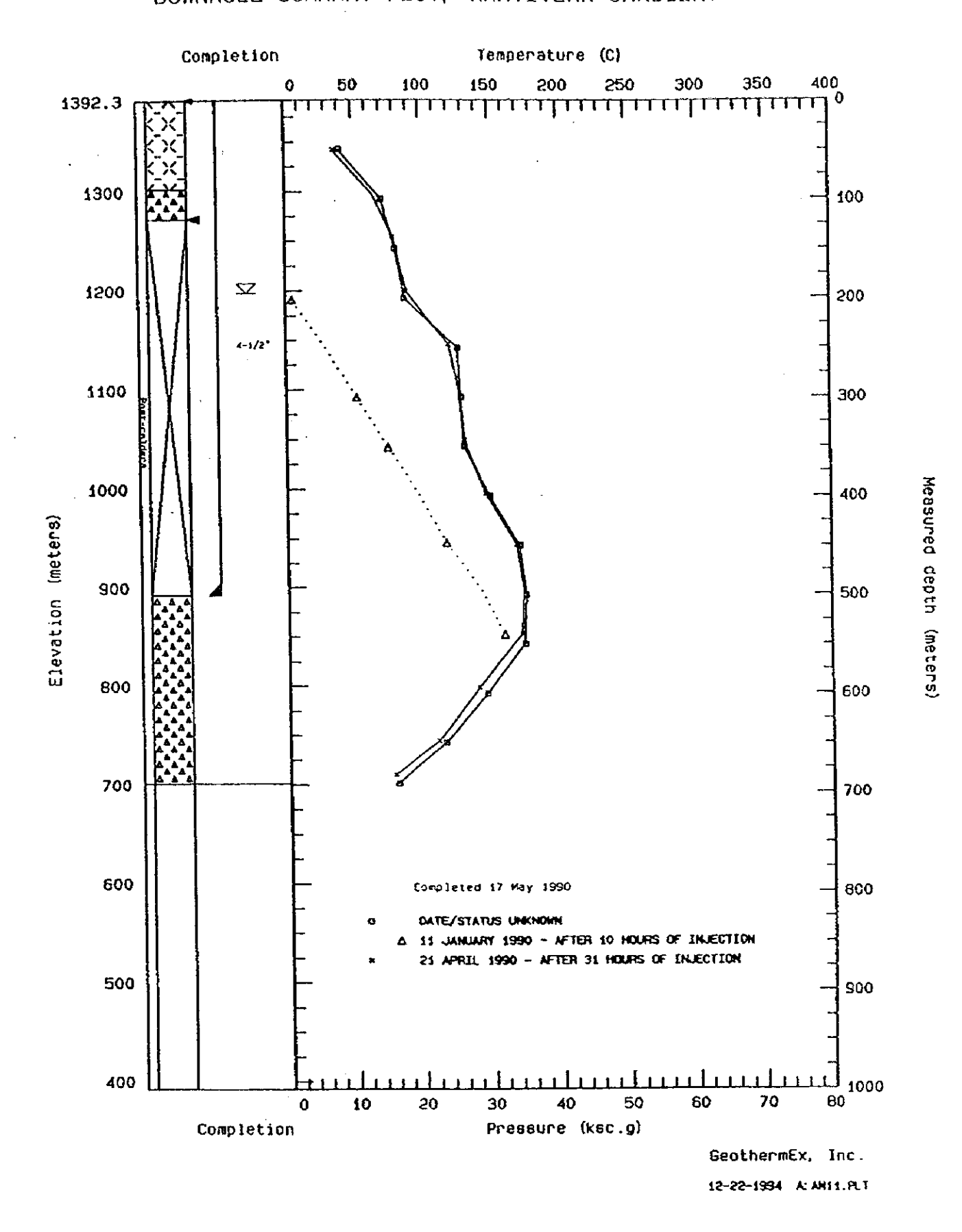
第6.3.17図(6) 小口径試錐の坑井調査結果 (AM-7)



第6.3.17図(7) 小口径試錐の坑井調査結果(AM-8)



第6.3.17図(8) 小口径試錐の坑井調査結果 (AM-10)



第6.3.17図(9) 小口径試錐の坑井調査結果 (AM-11)

(丰) AM-8

AM-8 は、Pacaya 火山の北北東方約 9km の標高 1,197m の地点で振削され、Amatitlan 湖の西岸に位置する。 掘削深度は 563m である。本孔の地質は、全区間にわたりカルデラ火山岩類からなる (第6.3.17図(7))。温度検層は掘削から 40 時間後に実施され、温度曲線は中間部で最高温度を示す。最高温度は深度 50m;80℃で、坑底(563m);58℃である。

(ク) AM-10

AM-10は、Pacaya 火山の北北東方約3.2 km の標高1,797m の地点で掘削され、掘削深度は890m である。本孔の地質は、深度0~150m;Pacaya 火山岩類、深度150~300m;後カルデラ火山岩類、深度300~890m;カルデラ火山岩類からなる(第6.3.17図(8))。温度検層が実施され、最高温度は孔底(890m)で240℃である。

(ケ) AM-11

AM-11は、Pacaya 火山の北北東方約 8.5km の地点で掘削され、掘削深度は 682m である。本孔の地質は、全区間にわたり後カルデラ火山岩類からなる (第 6.3.17 図(9))。温度検層が実施され、温度曲線は中間部で最高温度を示す。最高温度は深度 400m;188℃で、孔底(682m)82℃である。

3) 地下温度分布

AM-1・2・7・10・11で高温が確認された。ただし、AM-10を除き、中間部で最高温度を示し、孔底に向かって温度が低下する。第 6.3.18 図 (1) (標高 1,150 m準) 、第 6.3.18 図 (2) (標高 800 m準) には、後記する大口径試験井の温度検層結果を加味した地下の温度分布を示す。これらの地下の温度分布図では、南部の AM-10 周辺で高温を示し、北部に向かって序々に低温になっているが、中央部の AM-2 周辺にも高温域が分布する。

(2) 大口径試験井掃削

1) 既存調査概要

地下の温度分布、地質構造、及び地熱流体の把握のため、生産井仕様の大坑径試験井が1992年から1993年にかけて4本掘削された。これらの掘削地点は、Amatitlan 地域南部の高温が確認された小口径試錐孔であるAM-10の周辺である(第6.3.5図)。これらの坑井では坑井調査として、地質(カッティングス)調査、温度・圧力検層、及び注水試験が行われている。以下に、各坑井の掘削深度、実測した最高温度、及び実施年を示す。

坑井名	深度(m)	最高温度 (℃)	実施年
AMF-1	1,581	282	92-93
AMF-2	1,502	295	93
AMF-3	1,500	239	93
AMF-4	2,058	240	93

2) 掘削方法

これらの坑井はすべて垂直井で、それらの深度は $1,500 \sim 2,058 \text{m}$ である。 掘削作業はメキシコの業者により行われた。使用機材のリストを第 6.3.2 表に示す。使用リグは $1000 \text{ 馬力のロードワークスを有するロータリー式 のものである。 掘削地点の敷地面積は、<math>40 \text{m} \times 50 \text{m}$ の $2,000 \text{m}^2$ で、 $AMF \sim 1$ の敷地の見取り図を第 6.3.19 図に示す。

3) 坑井掘削・仕上げ

各坑井の坑井掘削・仕上げ結果を第6.3.20 図(1)~(4)に示す。坑井掘削・仕上げは基本的に4段で行っている。第一・二段は各坑井共通で、第一段は約40mまで26"で掘削し、20"のケーシングを挿入後セメンチングを行っている。第二段は約300mまで171/2"で掘削し、133/8"のケーシングを挿入後セメンチングを行っている。第三段は、各坑井ごとに異なり、約800m~1,000mまで121/4"で掘削し、95/8"のケーシングを挿入後セメンチングを行っている。最終段の第四段は、約1,500m~2,000mまで81/2"で掘削し、第三段のケーシング尻より75/8"の孔明管をハンガーで吊っている。

4) 坑井調査結果

(ア) AMF-1

AMF-1 は、Pacaya 火山の北方約 3.2km の標高 1,797m の地点で掘削され、AM-10 の掘削地点から約 50m 離れている。掘削深度は 1,581m で、掘削期間 (注水試験期間も含む) は 1992 年 12 月 2 日から、翌年の 1993 年 2 月 10 日までの 71 日間である (第 6.3.21 図)。

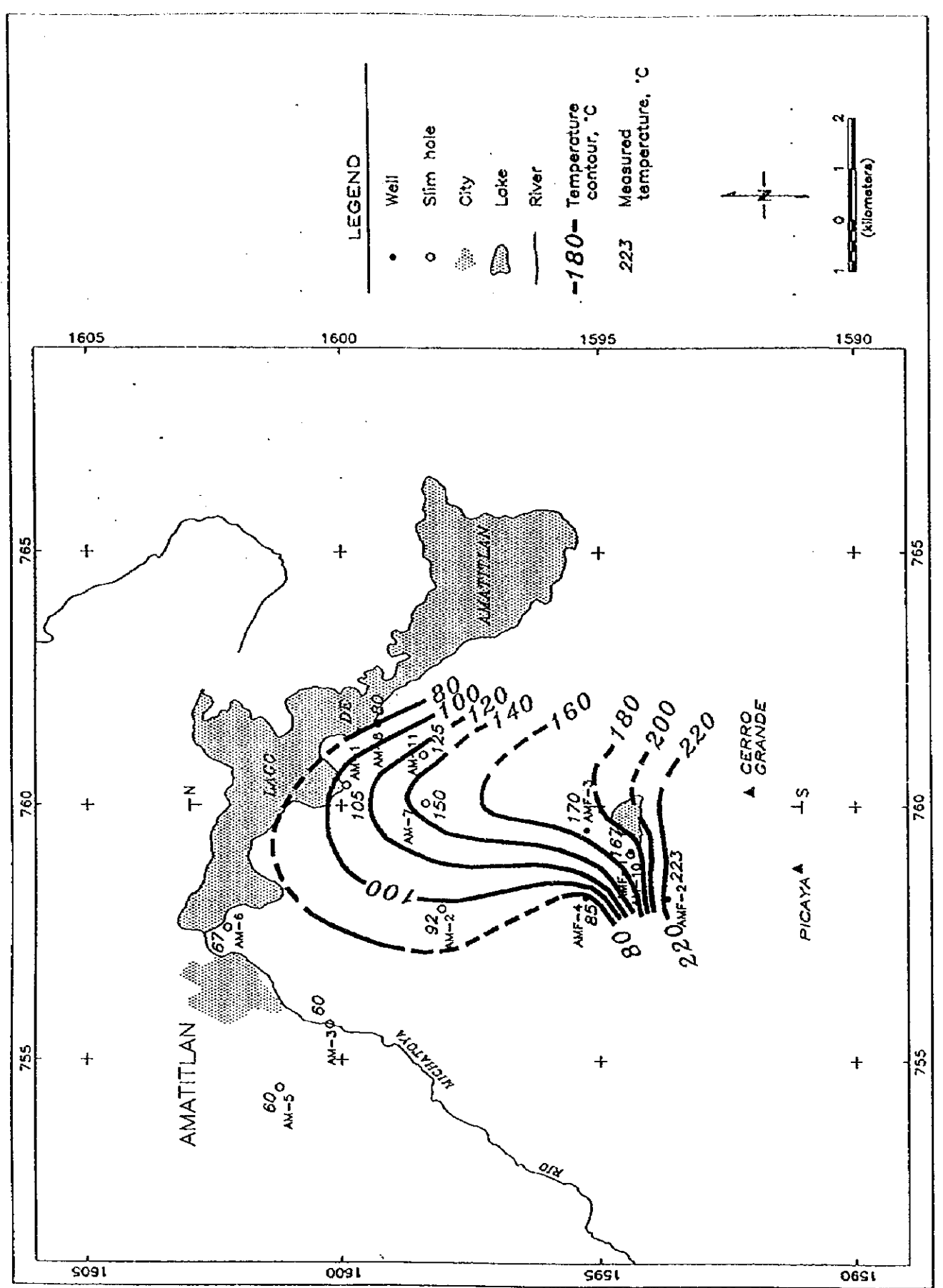
本坑井の地質は、深度 0~20m;沖積層、深度 20~125m; Pacaya 火山岩類、深度 125~310m; 後カルデラ火山岩類、深度 310~950m; カルデラ火山岩類、深度 950~1,300m; 先カルデラ火山岩類、深度 1,300~1,581m; 基盤岩類からなる。基盤岩類として、ダイヤベースと花崗岩類が確認された(第6.3.22 図)。

掘削中に逸水は、深度 815m (一部)、深度 842m (全量)、深度 911~1,581m (全量) の3区間で認められた。注水試験は、55t/h、80t/h、120t/h の多段の流量で行れ、透水性が良好であることが確認された。温度検層は注水試験の前・中・後で実施され、最高温度は深度 1,425m で 282℃である。透水性の良好な箇所は、温度検層結果では注水試験による温度低下から地熱流体の流入により、温度回復が著しい箇所として抽出できる。透水性の良好な箇所(生産ゾーン)は深度 840~900m、深度 1,100~1,200m、深度 1,500~1,530m の3区間である。また、圧力検層から静水位は約550mである。

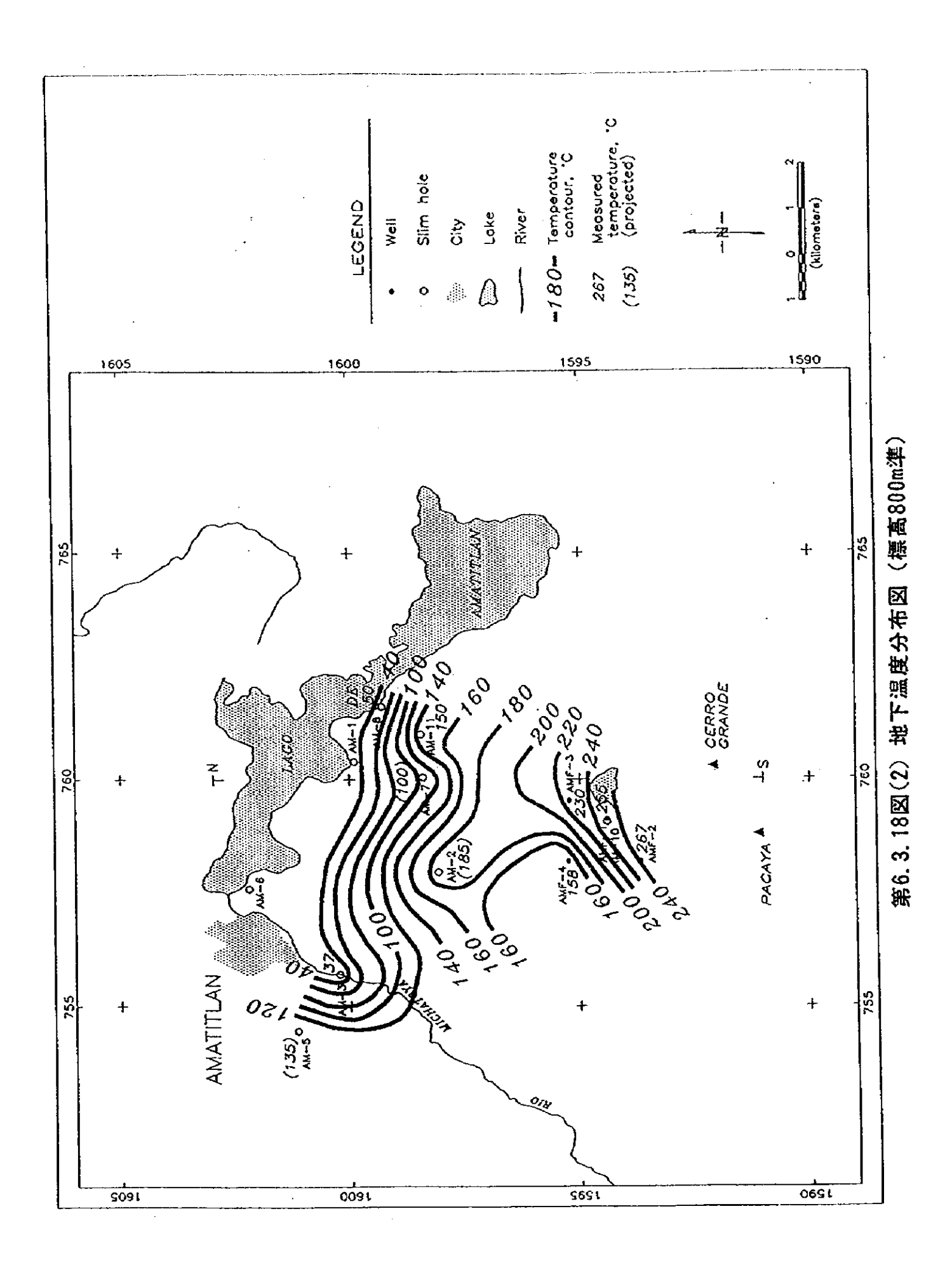
(イ) AMF-2

AMF-2 は、Pacaya 火山の北北西方約3 kmの標高 1,868m の地点で 掘削され、AMF-1 の掘削地点から南西方に約 1km 離れている。掘削深度は 1,502m で、掘削期間 (注水試験期間も含む) は 1993年2月21日から、同年4月13日までの52日間である(第6.3.23 図)。また、AMF-1 からのリグ移動期間 (AMF-1 のリグダウン、移動、AMF-2 のリグアップ) は 12 日間である。

本坑井の地質は、深度 0~18m;沖積層、深度 18~50m;Pacaya 火山岩類、深度 50~560m;後カルデラ火山岩類、深度 560~1,180m;カルデラ火山岩類、深度 1,180~1,502m;先カルデラ火山岩類からなる。この坑井では、基盤岩類は捕捉されていない(第 6.3.24 図)。掘削中に逸水は、深度 705m(全量)、深度 888m(一部)、深度 1,030m



第6.3.18図(1) 地下温度分布図 (顧高1,150m準)



- 82 -

第6.3.2 表 大口径調査井掘削の使用機材

a.Rig

Ideco H-1000 self-propelled rambler rig equiped with

Caterpillar 1000 HP engine

b.Mad pump

Ideco T-800 triplex slush pump with 800 HP engine

2 sets

c.Rotary

Ideco LR-275

d.Drilling block

Ideco UTB-265

e.Swivel

Ideco TL-300

f.BOP

Annular-#3000,5000 Ram-#3000,5000

g.Cementing Unit

Dowell Truck-mounted cementing unit

h.Drill pipe

4.5"XH-Grade-G

i.Drill collar

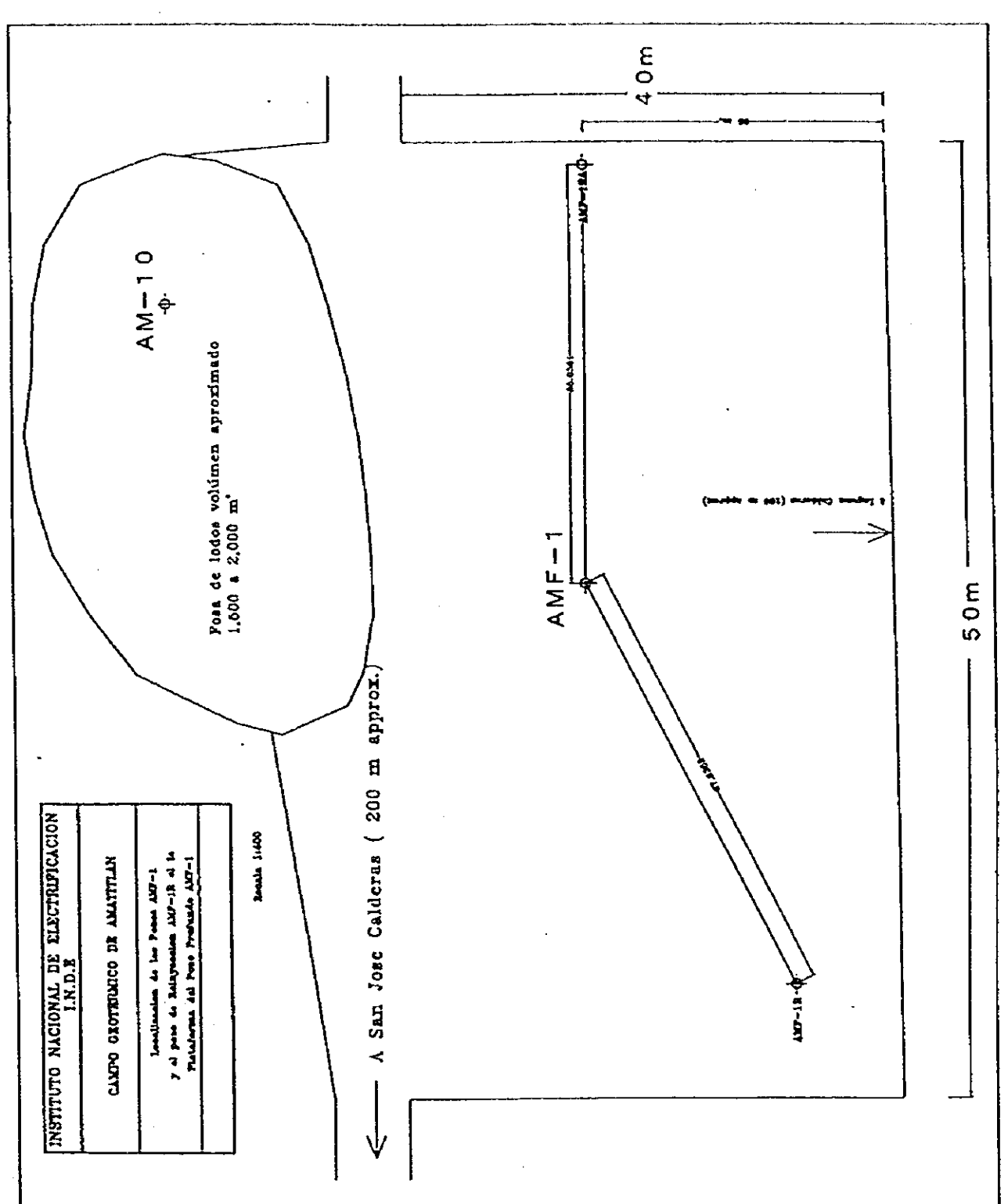
9",8",6.5"

j.Mud tanks

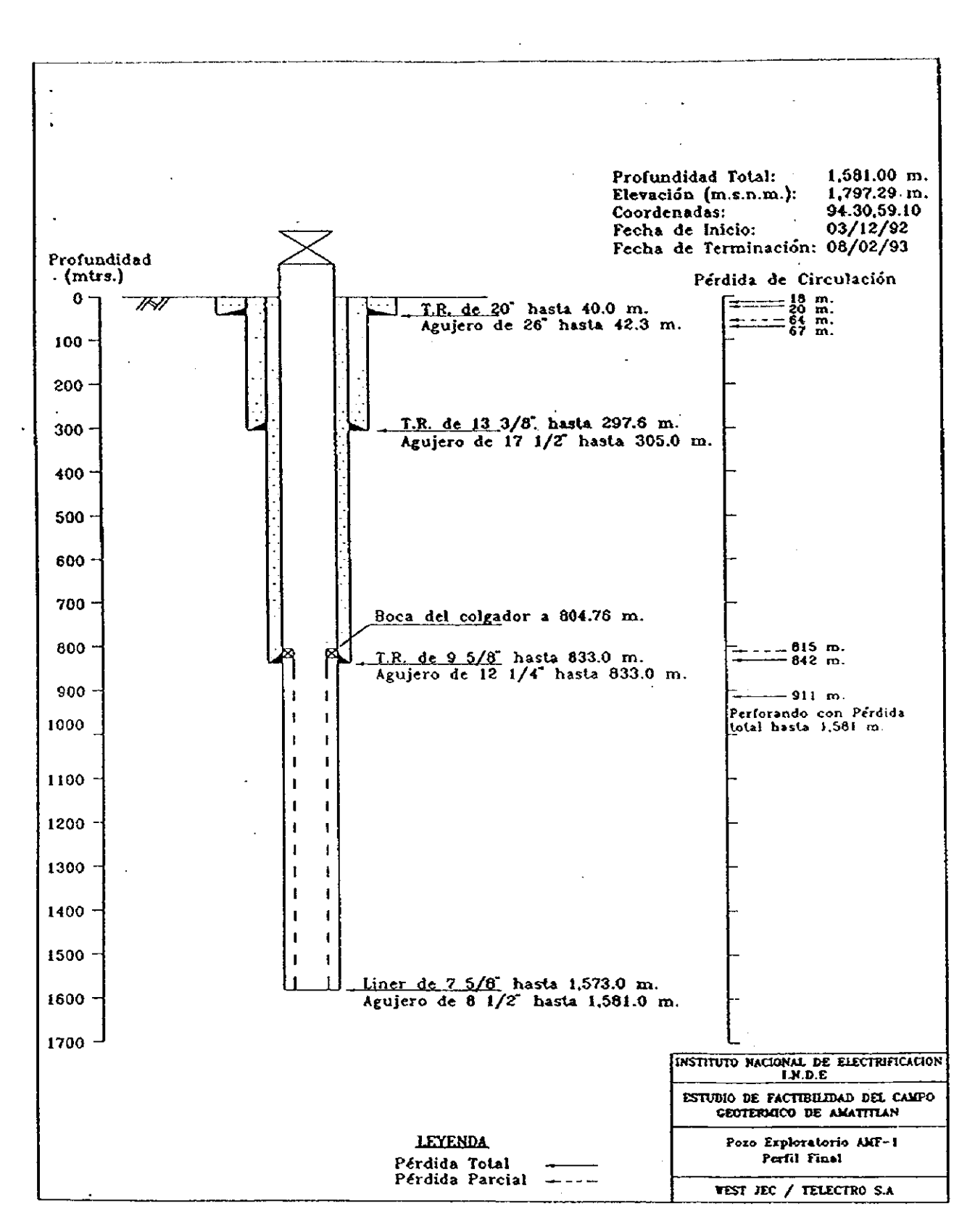
Shaker, Suction, Mixing

k.Drilling tools

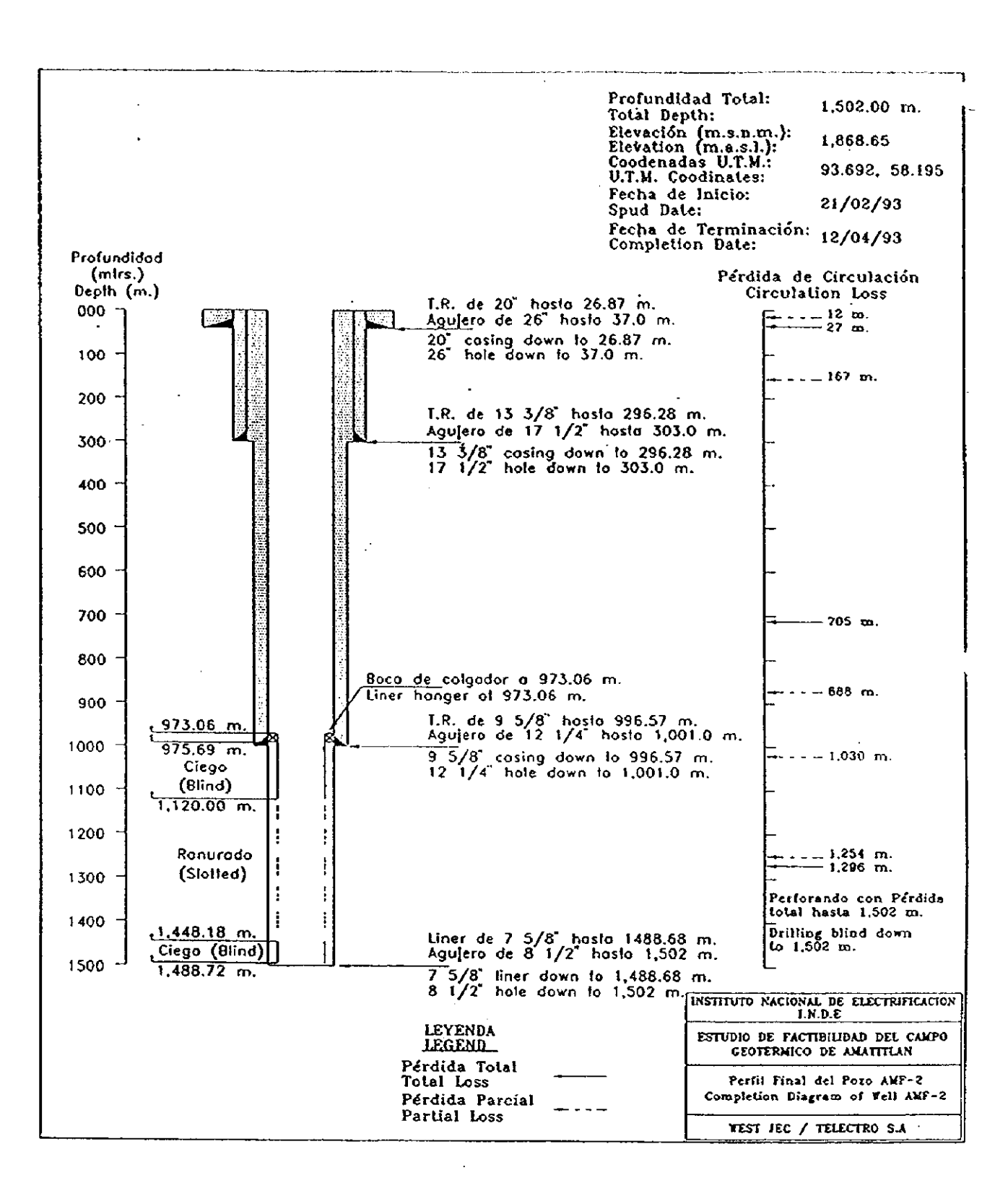
Stabilizers, Reamers



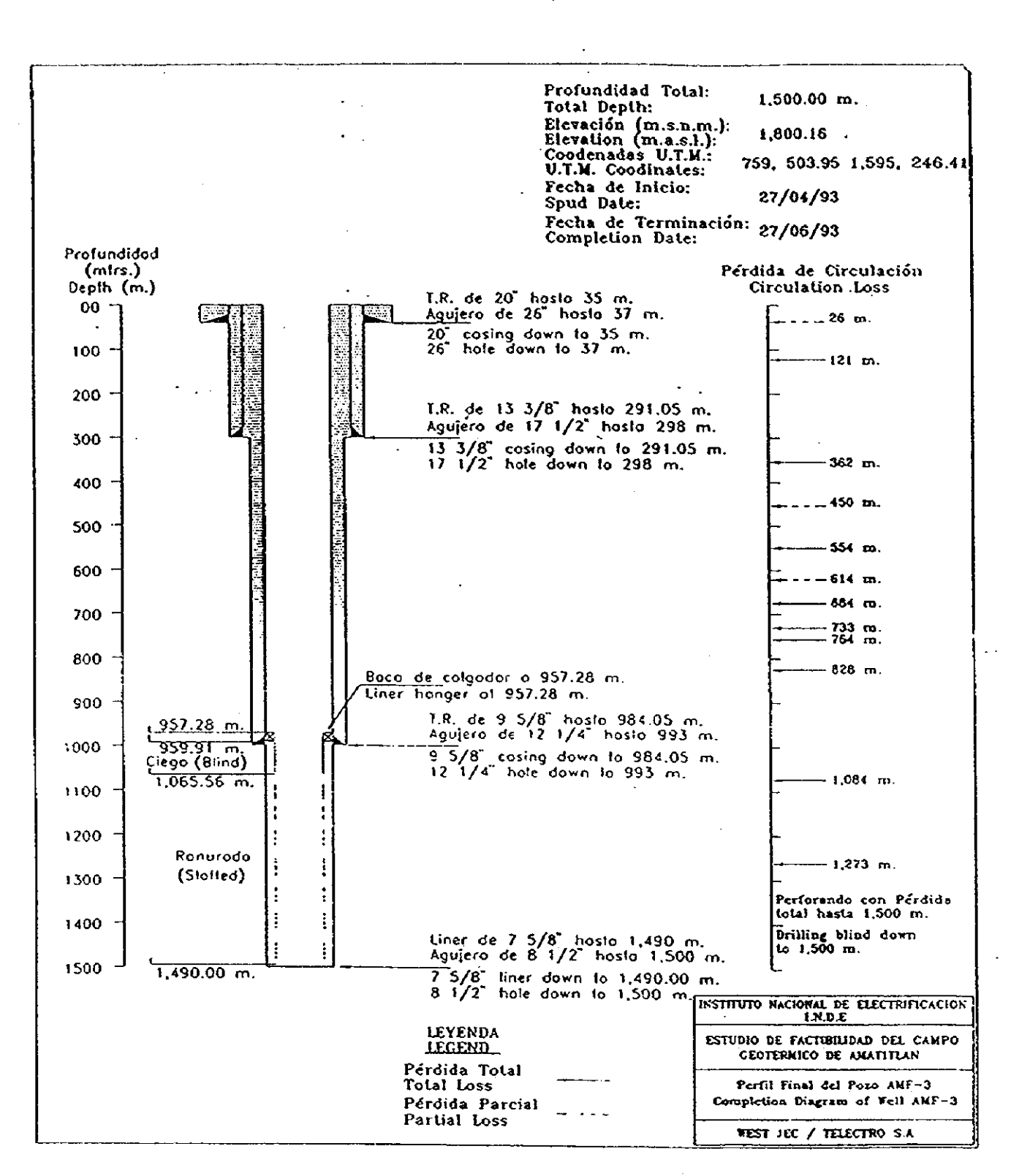
第6.3.19図 AMF-1の敷地見取り図



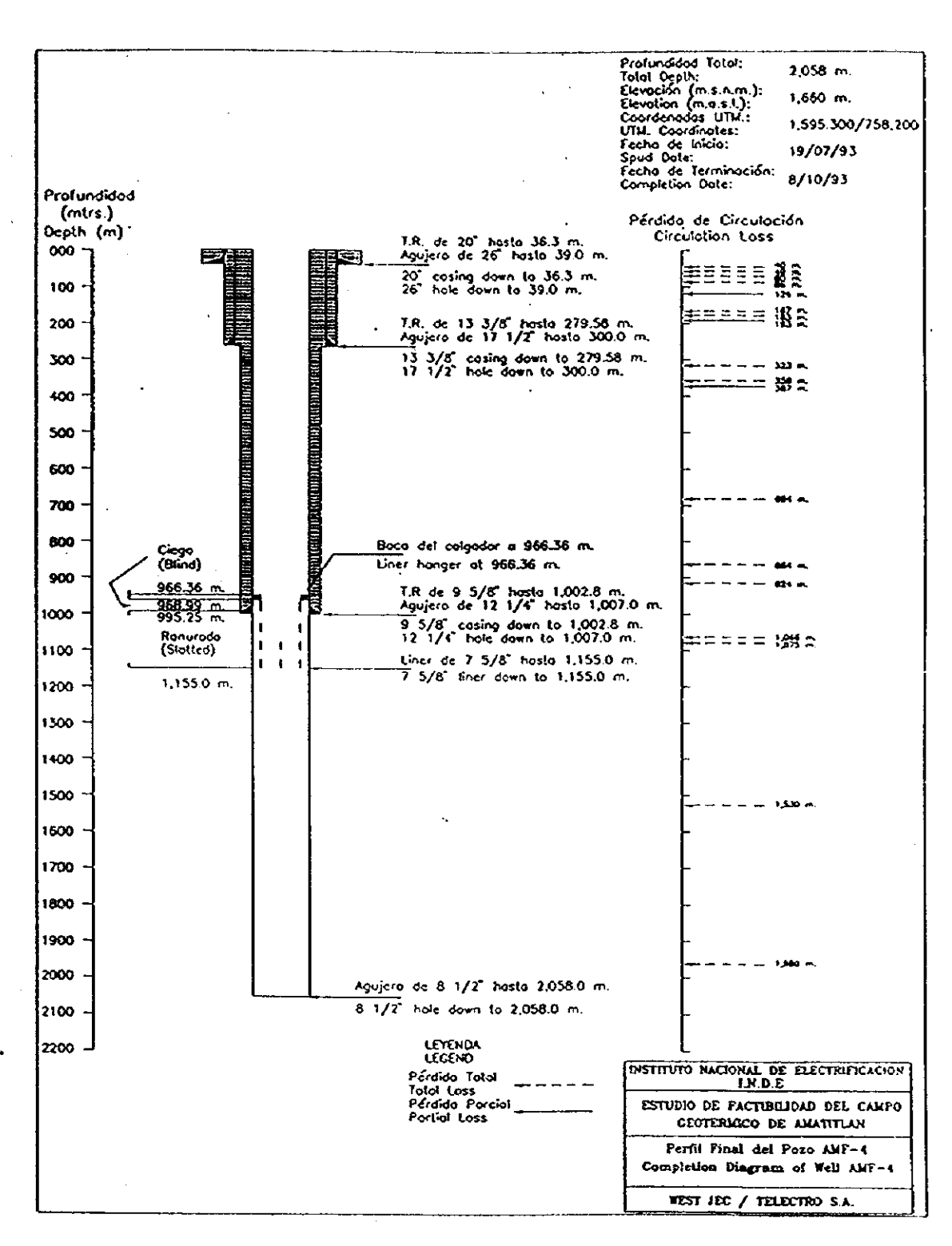
第6.3.20図(1) 大口径調査井のケーシングプログラム (AMF-1)



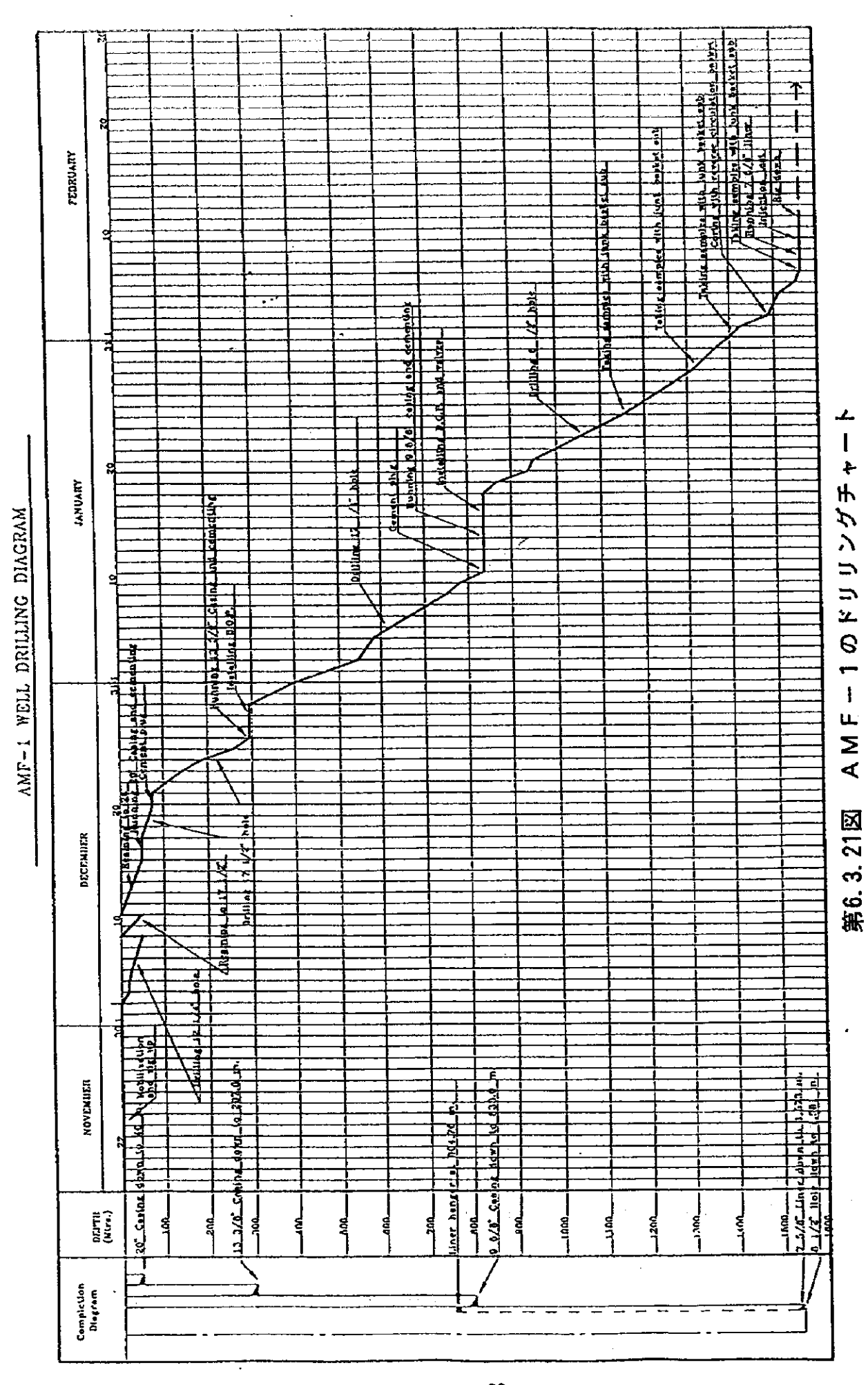
第6.3.20図(2) 大口径調査井のケーシングプログラム (AMF-2)



第6.3.20図(3) 大口径調査井のケーシングプログラム (AMF-3)



第6.3.20図(4) 大口径調査井のケーシングプログラム (AMF-4)



- 89 -

(一部)、深度1,254m (一部)、深度1,296~1,502m (全量)の3区間で認められた。注水試験は、67t/h、120t/h の2段の流量で行われ、透水性が良好であることが確認された。温度検層は注水試験の前・中・後で実施され、最高温度は深度1,480mで295℃である。透水性の良好な箇所(生産ゾーン)は深度1,300~1,400m間である。また、圧力検層から静水位は約600mである。

(ウ) AMF -- 3

AMF-3 は、Pacaya 火山の北北東方 4.2km の標高 1,800m の地点で 掘削され、AMF-1 の掘削地点から北東方に約 1km 離れている。掘削深度は 1,500m で、掘削期間 (注水試験期間も含む) は 1993 年 4 月 27 日から、同年 6 月 28 日までの 63 日間である (第 6.3.25 図)。また、AMF-2 からのリグ移動期間 (AMF-2 のリグダウン、移動、AMF-3 のリグアップ) は 15 日間である。

本坑井の地質は、深度 0~660m;後カルデラ火山岩類、深度 660~1,120m;カルデラ火山岩類、深度 1,120~1,500m;先カルデラ火山岩類 からなる。この坑井では、基盤岩類は捕捉されていない(第 6.3.26 図)。

掘削中に逸水は、深度 828m (一部)、深度 1,084m (一部)、深度 1,273~1,530m (全量) の 3 区間で認められた。注水試験は 230t/h の流量で行れ、透水性が良好であることが確認された。温度検層は注水試験の前・中・後で実施され、最高温度は深度 1,000m で 239℃である。温度曲線は深度 1,000m まで上昇し、それ以深では低下し、坑底の深度 1,500m では 200℃以下になる。また、圧力検層から静水位は約 600m である。

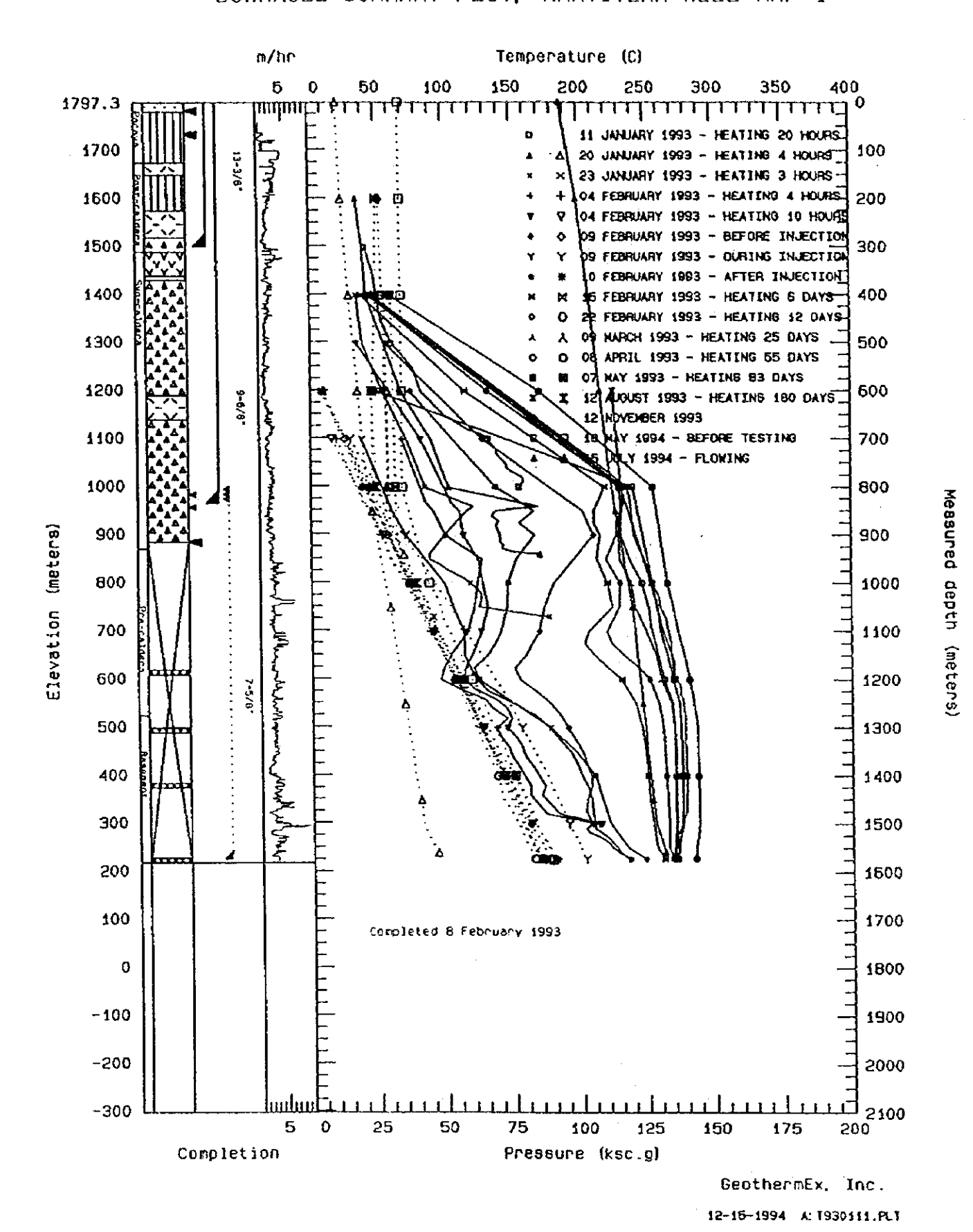
(工) AMF-4

AMF-4 は、Pacaya 火山の北北西方 4.5km の標高 1,660m の地点で掘削され、AMF-1 の掘削地点から北西に約 1.5km 離れている。掘削深度は2,058m で、掘削期間 (注水試験期間も含む) は 1993 年 7 月 19日から、同年 10 月 12 日までの 86 日間である (第 6.3.27 図)。また、AMF-3 からのリグ移動期間 (AMF-3 のリグダウン、移動、AMF-4 のリグアップ) は 21 日間である。

本坑井の地質は、深度 0~310m;後カルデラ火山岩類、深度 310~880m;カルデラ火山岩類、深度 880~1,300m;先カルデラ火山岩類、深度 1,300~2,058m;基盤岩類からなる。この坑井では、基盤岩類としてダイヤベースと花崗岩類が確認された(第 6.3.28 図)。

掘削中に逸水は、深度 864m (一部)、深度 924m (一部)、深度 1,066m (一部)、深度 1,075m (一部)、深度 1,530m (一部)、深度 1,980m (一部)で認められたが、全量逸水は生じなかった。注水試験は、55t/h、80t/h、120t/h の多段の流量で行れ、透水性が不良であることが確認された。温度検層は注水試験の前・中・後で実施され、最高温度は深度 1,800m で 240℃である。また、圧力検層から静水位は約600mである。

DOWNHOLE SUMMARY PLOT, AMATITLAN WELL AMF-1



第6.3.22図 AMF-1の坑井調査結果

MAYO/KAY 1 in the control and the second control of the contro 100 ADML/APRIL DIAGRAMA DE PERFORACION DEL POZO AMF-2 DRILLING DIAGRAM OF WELL AMF-2 3 COTTE L' COMENTA T'IL DE 9 9 5 - <u>2</u> The alertate actuals with • мап20/жапси は一般の YEDRERO/FEDRUARY T.R. 48_20' pett, 20.02 m.
20' ceeing Joyn to 20.02 m.
T.R. 40 13 3/0' here 20.25 m.
13 3/6' ceeing 42m 4.25 m. T.R. de 9 (2/2) hpitte 609.47 m... May II esten e inead de peropental antique en la contraction en la Profundided (XLrs.) Depth 997 Completion Disgram

ł

<u>+</u> ዜ

コング

F-20 F

Σ

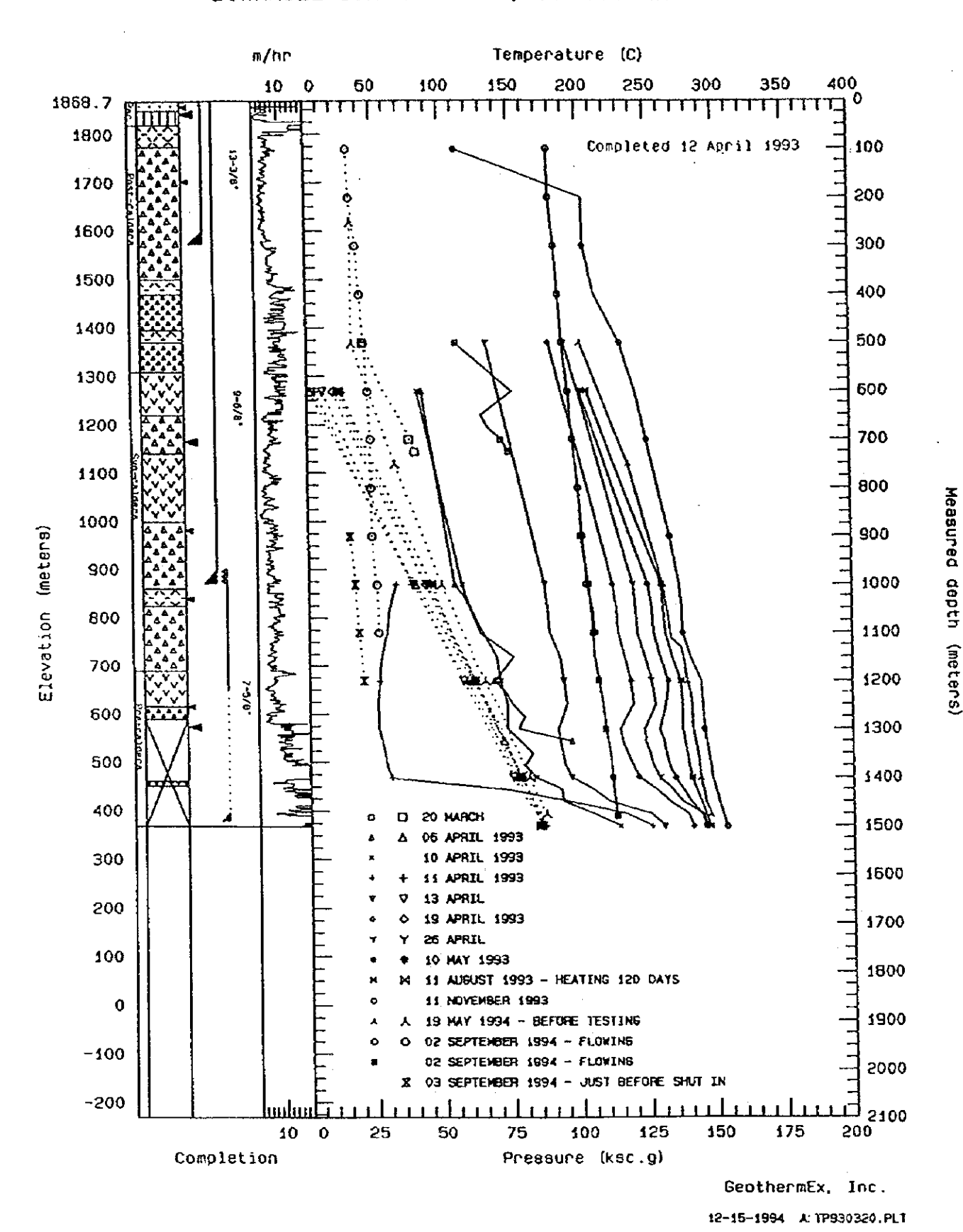
⋖

3.23図

第6.

- 92 -

DOWNHOLE SUMMARY PLOT, AMATITLAN WELL AMF-2



第6.3.24図 AMF-2の坑井調査結果

- 93 -

NULO/JULY Prucise et ligitation is justine la Transaction de Capacana Canal de Canal librar de Capacana de Canal librar de Canal de Canal de librar de JUNIO/JUNE DIAGRAMA DE PERFORACION DEL POZO AMF-3 DRILLING DIAGRAM OF WELL AMF-3 p/c di man 34 * Performance 3 1 Resemble 20 1000 HAYO/HAY Zr change TR. de 24" ADRIL/APRIL Mirelisation of the bloc of the bloc of the block of the 140c; 3c 7 877 hosto 1430 m. 2 6.2 110 m. 2 rofundidad (New.) Depth Completion Digges

ムーキホ

ソダ

FUU

В

MF-3

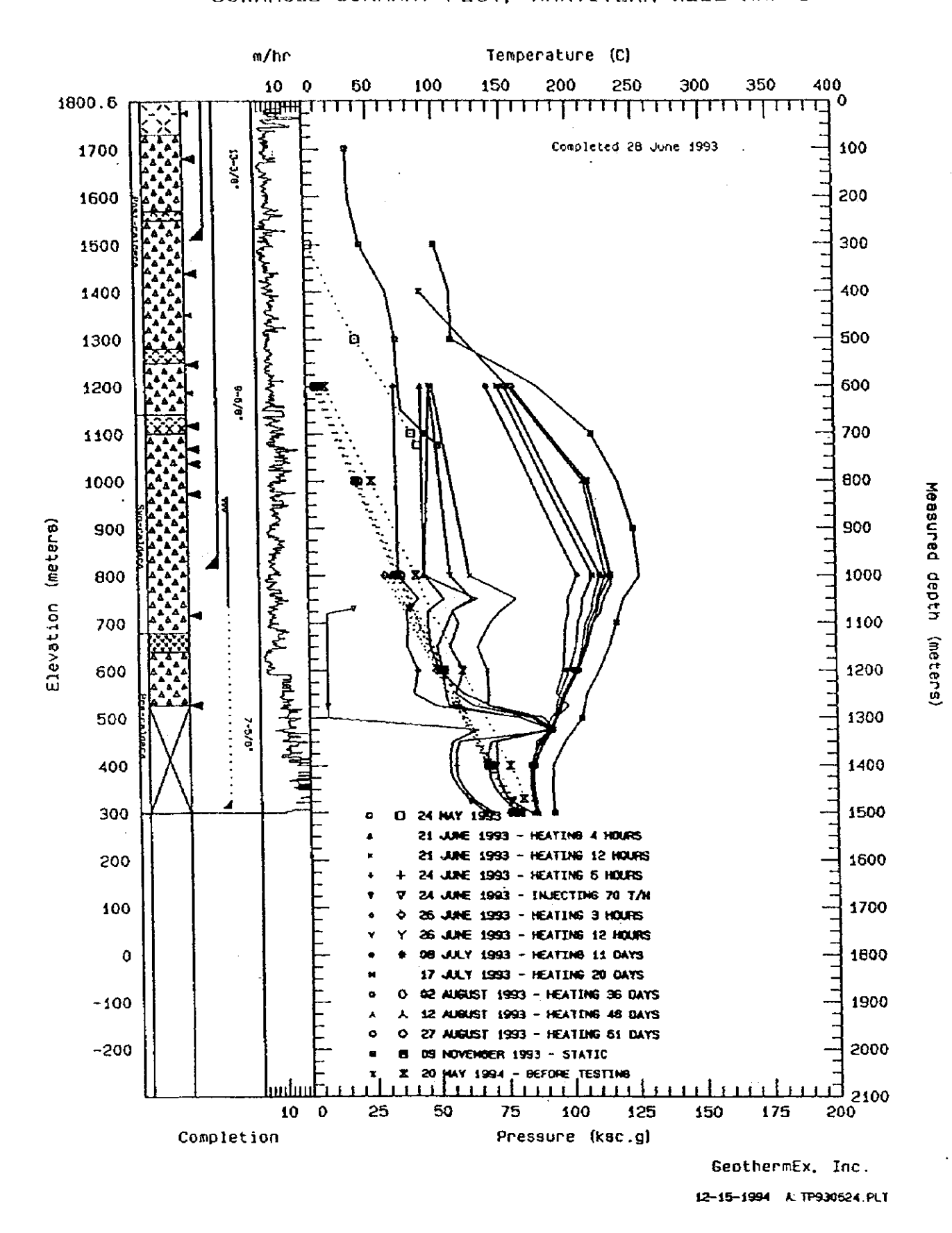
⋖

3.25区

郑6.

- 94 --

DOWNHOLE SUMMARY PLOT, AMATITLAN WELL AMF-3



第6.3.26図 AMF-3の坑井調査結果